

République Algérienne Démocratique et Populaire

Université Ahmed ZABANA, Relizane

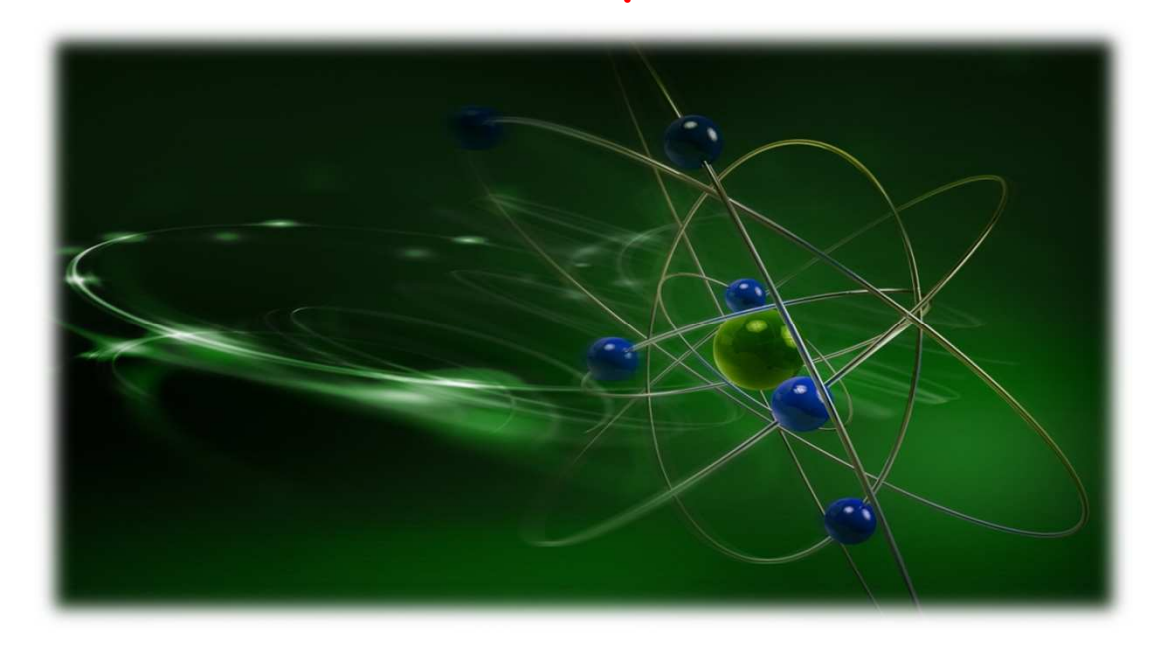
Institut des Sciences exactes & des Sciences de la Nature et de la Vie

Département de Physique



Mécanique quantique

note de cours pour Master



Préparé et Présenté par Dr. Mostefa DJERMOUNI

- 2021/2022 -

Programme d'enseignement

- Chapitre I: Introduction & Historique
- Chapitre II : L'équation de Schrödinger
- Chapitre III: Le moment cinétique quantique
- Chapitre IV : L'atome d'Hydrogène
- Chapitre V : Les particules identiques
- Chapitre VI: Les approximations

Introduction : où peut-on trouver la physique quantique ?

- Le Laser (CD, Blu-ray, imprimante, souris, ...)
- L'horloge de votre téléphone
- ☐ Le GPS
- La couleur de la flamme d'une gazinière
- ☐ Les feux-d'artifice
- ☐ Les lumières LED
- La phosphorescence
- La cellule photovoltaïque
- ☐ Le verre, et la transparence
- ☐ Le téléporteur de Star Trek

Introduction: Prix Nobel!

Plus de 80% des prix Nobel de physique sur la physique quantique, depuis les fondateurs : Planck, Einstein, Bohr, Dirac, Pauli, Schrödinger, Born, Heisenberg, Feynman... etc. jusqu'à le dernier prix sur le laser.

Introduction II : quelques repères historiques

1687: Newton \Rightarrow nature corpusculaire de la lumière.

1800 : Thomas Young démontre la nature ondulatoire de la lumière.

1860 : Kirchhoff montre que la matière est capable d'émettre et d'absorbe la lumière.

1860 : Maxwell postule l'existence des ondes électromagnétiques.

1885 : Travaux de Balmer sur les raies spectrales.

Introduction II : quelques repères historiques (suite)

- 1899-1902 : Lenard formule les lois empiriques de l'effet photoélectrique (aussi Rutherford et J.J.Thomson).
- 1903 : J.J. Thomson élabore son modèle de la structure de l'atome.
- 1905 : Einstein introduit le concept de photon qui permet d'expliquer les règles auxquelles obéit l'effet photoélectrique.
- 1885-1908 : Mise en place d'un ensemble de résultats empiriques concernant la distribution des raies spectrales.
- 1911 : Rutherford introduit le modèle planétaire de l'atome
- 1912 : Max von Laue : diffraction des rayons X.
- 1913 : Bohr séjourne chez Rutherford à Manchester. Il postule alors l'existence d'états d'énergie stationnaires dans lesquels l'électron ne rayonne pas et postule que le rayonnement a lieu lors des changements de niveaux.

Introduction III : Origine de la mécanique quantique

1. Rayonnement du corps noir

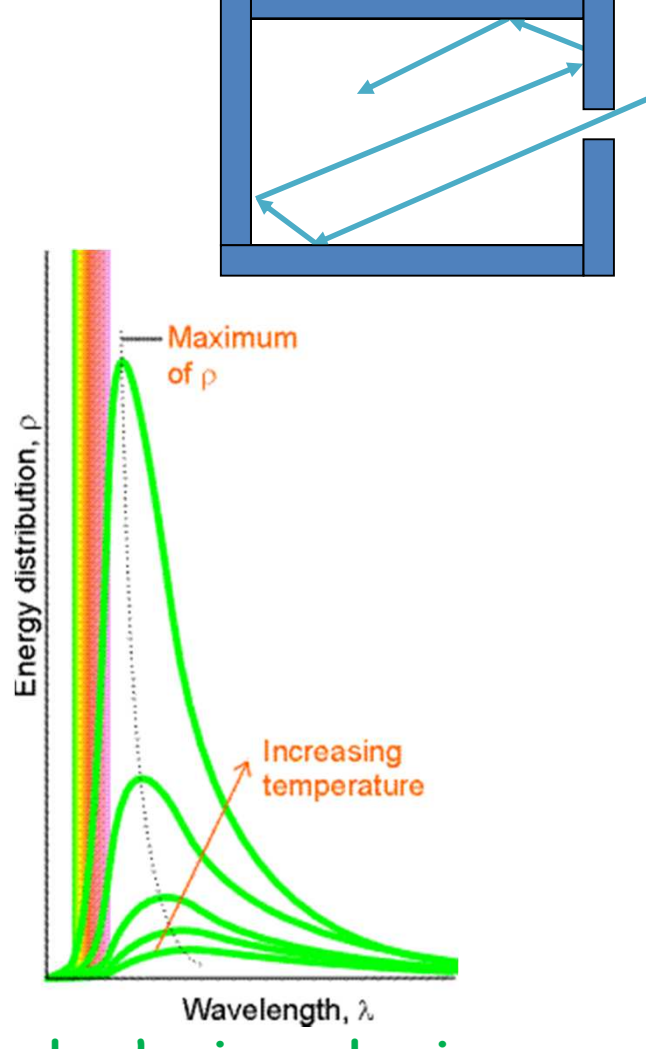
Tout corps chauffé émet des ondes

électromagnétiques

Corps noir : substance qui absorbe tout le rayonnement qu'elle reçoit sans en réémettre à son tour

Observations expérimentales :

- Energie émise = σ . T^4 (Stefan-Boltzmann law)
- Existence d'un max. ($\lambda_{max} \propto 1/T$) filament rouge au blanc
- Chute de l'énergie émise pour faible λ



L'existence du maxima λ_{max} est inexplicable par la physique classique

Introduction III : Origine de la mécanique quantique

- Pourquoi lorsqu'on chauffe un objet, celui-ci émet-il de la lumière ?
- Pourquoi la couleur de la lumière émise change-t-elle avec la température ?
- Pourquoi y a-t-il toujours un maximum de la longueur d'onde?

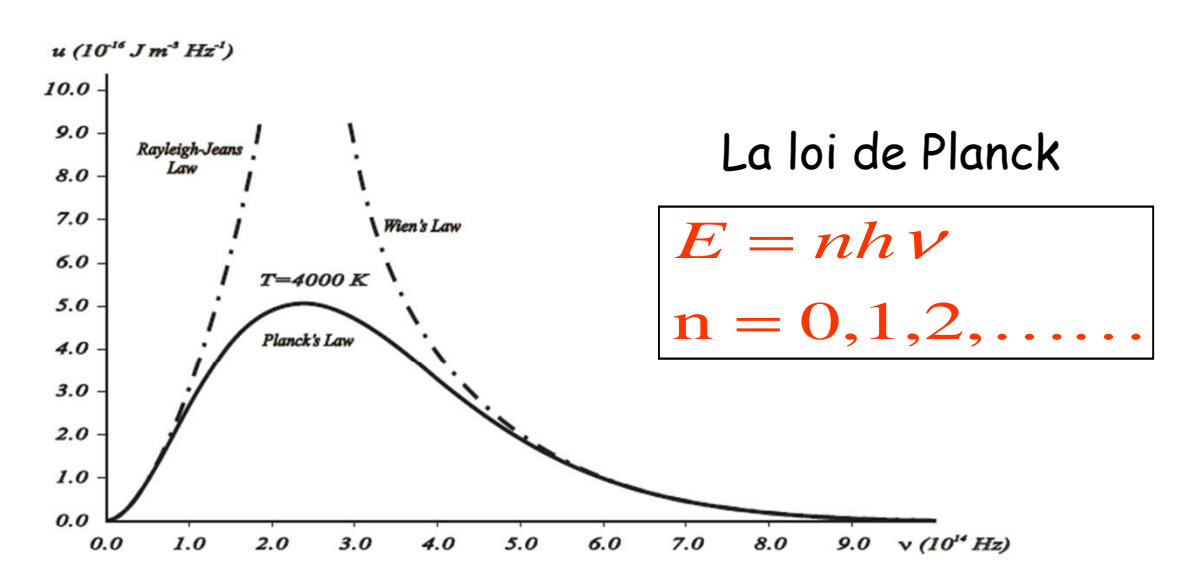
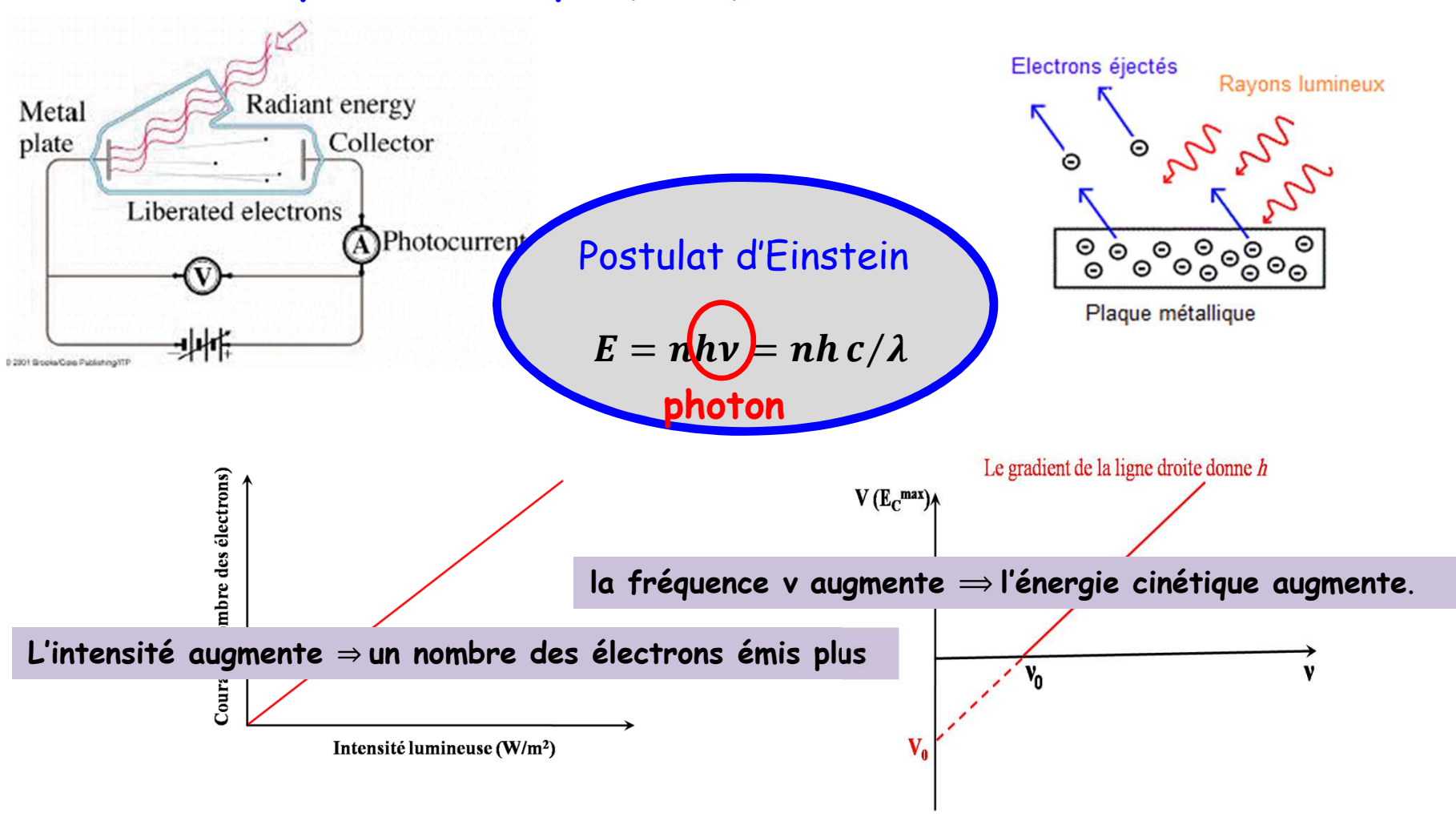


Figure 1.2 Comparison of various spectral densities: while the Planck and experimental distributions match perfectly (solid curve), the Rayleigh–Jeans and the Wien distributions (dotted curves) agree only partially with the experimental distribution.

Introduction III : Dualité onde - corpuscule

2. Effet photo-électrique (1905)



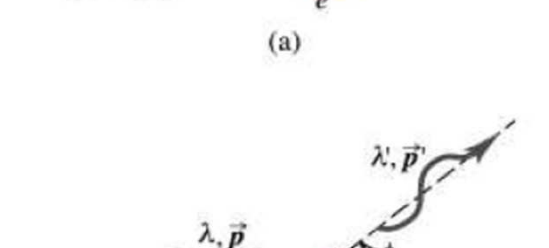
Introduction III : Dualité onde - corpuscule

3. Effet Compton (1922)

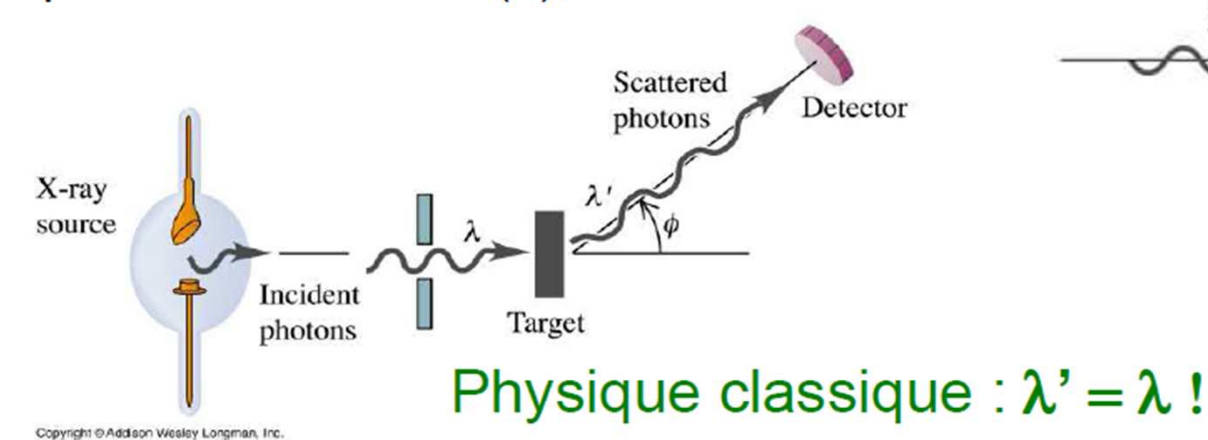
En 1922, Compton étudie la diffusion des EM (rayons X) par la matière

Observation expérimentale :

L'onde réfléchie est de fréquence différente, de longueur différente (λ ') que l'onde incidente (λ), λ ' > λ



(b)



 $\vec{p} \wedge \phi$ \vec{p}

$$\lambda' - \lambda = \frac{h}{mc} (1 - \cos\phi)$$

Contrairement à l'effet photo-électrique, seulement une partie de l'onde EM est communiquée à l'e-

Introduction III : Dualité onde - corpuscule

- 4. Onde de matière de L. De Broglie (1924) Longueur d'onde d'une particule libre
 - Soit une particule de masse m, d'énergie totale relativiste E et de quantité de mvt relativiste p
 - Particule décrit une trajectoire rectiligne à la vitesse v
 - Naturel de l'associer à une onde plane :

$$\psi(\vec{r},t) = A.e^{i(\vec{k}.\vec{r}-\omega t)}$$

Par analogie avec les photons :

Fréquence – Energie

$$E = h.f = \hbar.\omega$$

Quantité de mvt – longueur d'onde

$$\vec{p} = \vec{h} \cdot \vec{k}$$
; $|\vec{p}| = \frac{h}{\lambda}$

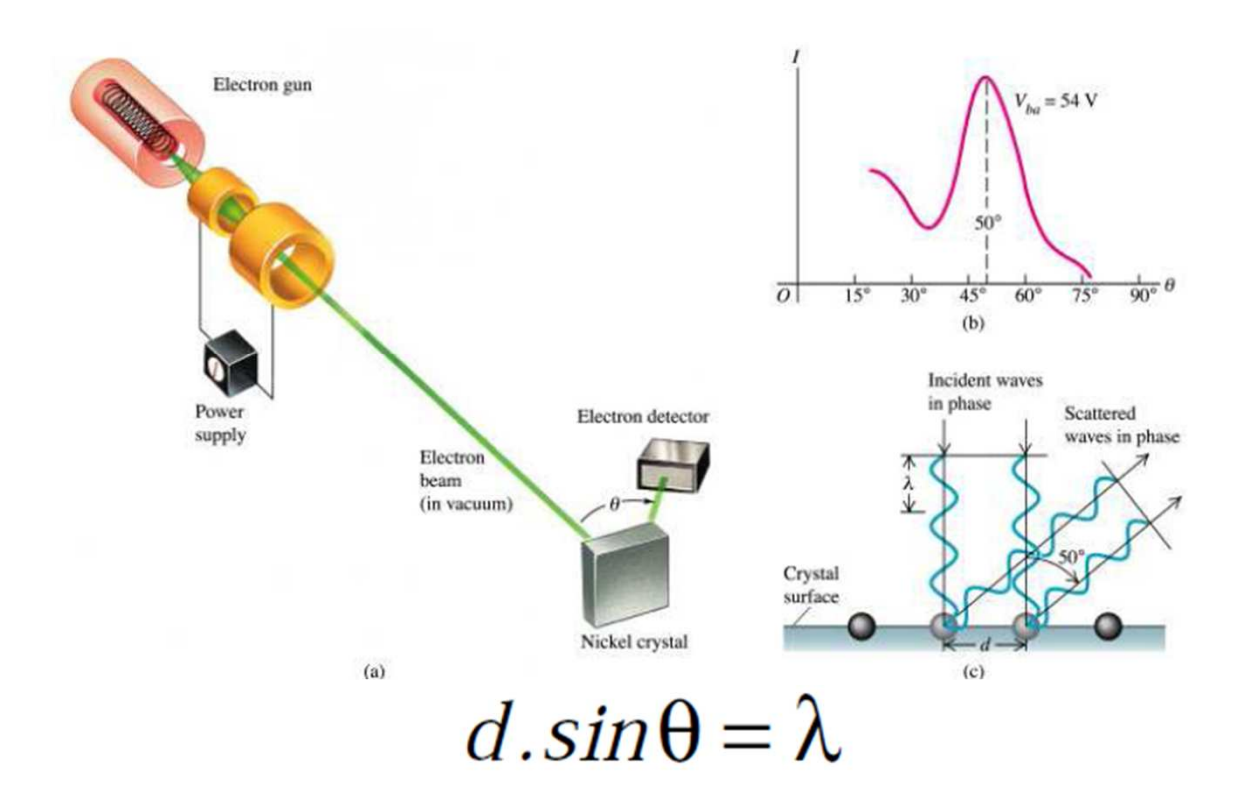
Relier E et p, ainsi que f et λ ?

$$k = 2\pi/\lambda$$

Introduction III: Dualité onde - corpuscule

4. Onde de matière de L. De Broglie (1924)

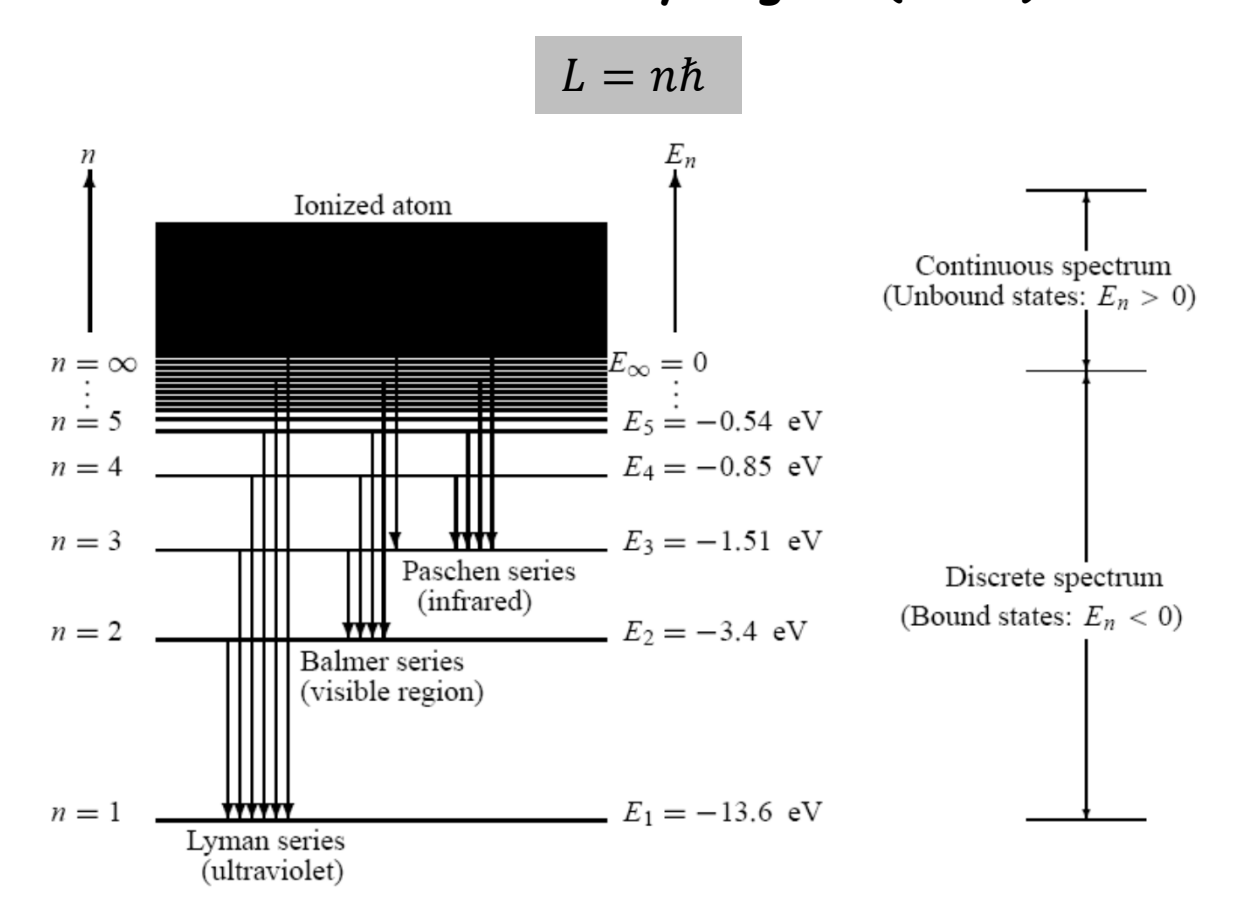
Experiences de Davisson-Germer (1927)



Introduction III: Dualité onde - corpuscule

5. Transition atomique et spectroscopie

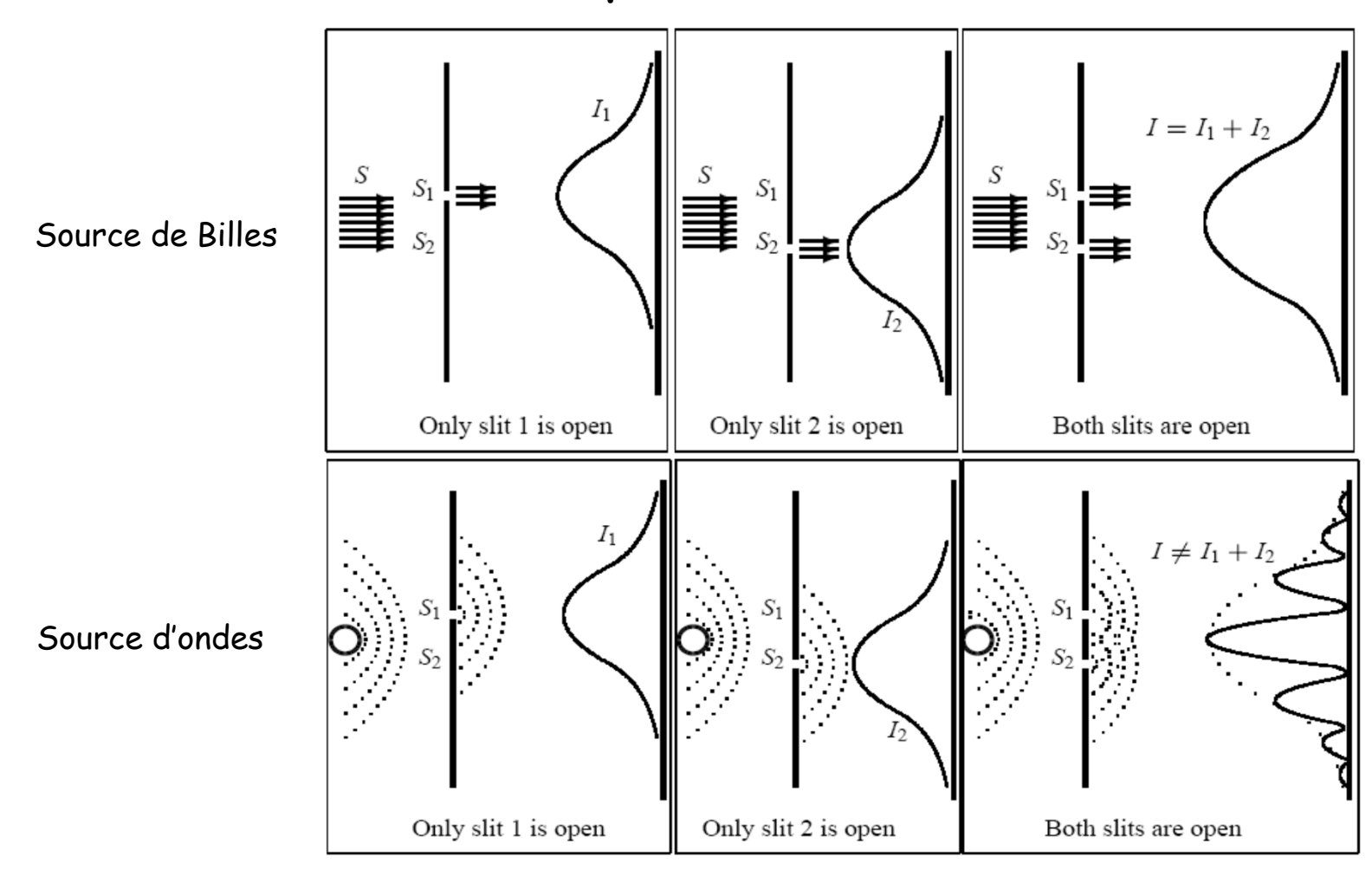
Model de Bohr de l'atome d'Hydrogène (1913):



Introduction III: Dualité onde - corpuscule

6. Expérience de deux fentes de Young (1924)

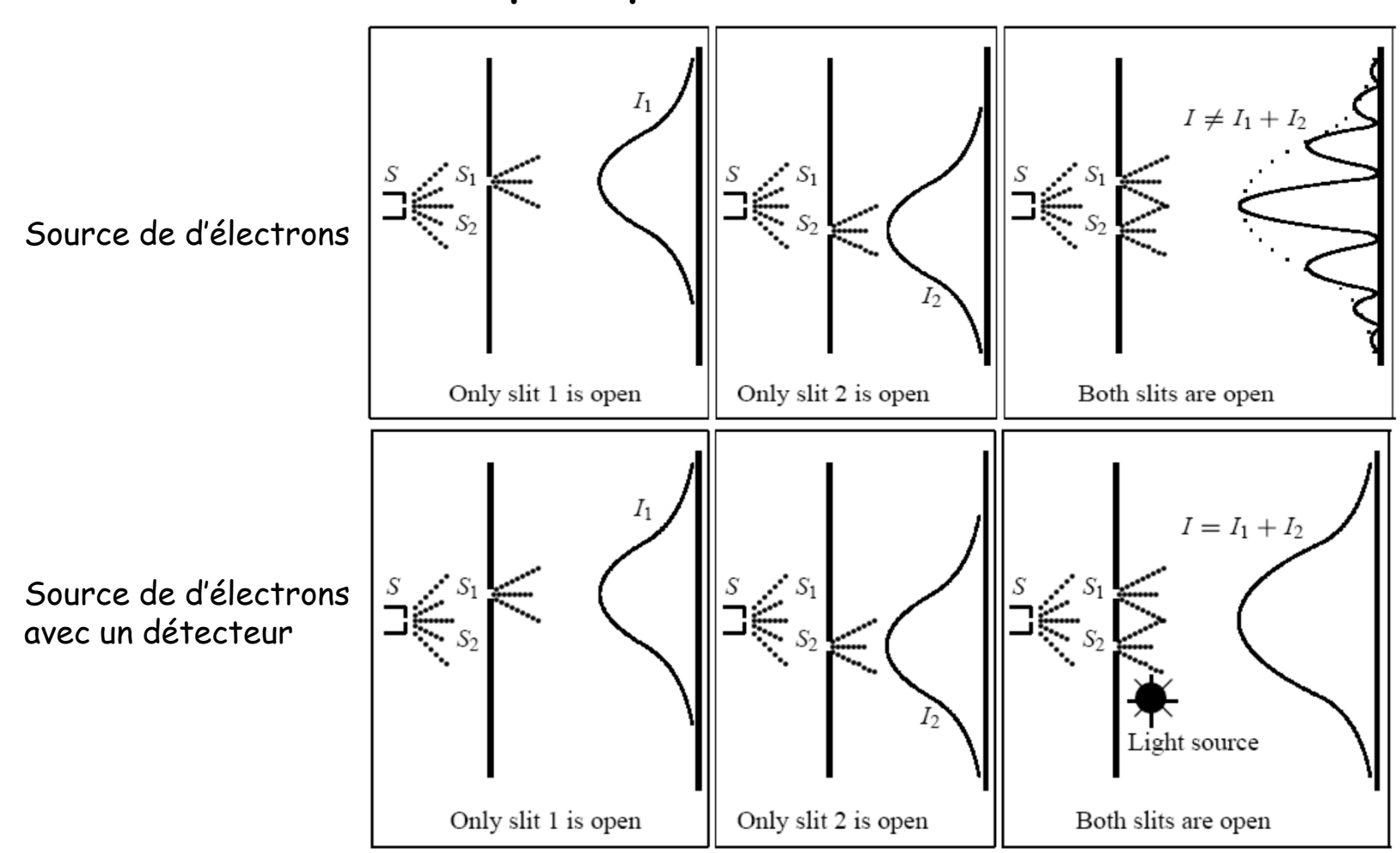
Considération classique:



Introduction III: Dualité onde - corpuscule

6. Expérience de deux fentes de Young (1924)

Considération quantique:



Introduction III : Dualité onde - corpuscule

Questions:

- Comment ça se fait, un objet microscopique présent à la fois un comportement corpusculaire et ondulatoire ?
- Est-ce que les deux contextes (onde-corpuscule) sont séparables ?

Réponses:

- La mécanique quantique donne un cadre propre des deux aspects pour le traitement de la matière : la fonction d'onde $\psi(\vec{r},t)$.
- Les aspects ondulatoires et corpusculaires de la matière et la lumière sont séparables dans la physique classique, par contre, sont mutuelle dans la physique quantique.
- La dualité onde-corpuscule de l'électron sera détruite dès qu'on observe la particule, il se présente comme une graine de matière.
- Si on mesure les propriétés corpusculaires d'un système quantique, ça va détruire les propriétés ondulatoire et vice-versa. Jamais les deux à la fois.

Introduction IV: Postulats de la MQ

Postulat 1: L'état de système

- $|\psi(\vec{r},t)\rangle$ donne tous les informations nécessaires sur le système.
- La superposition des vecteurs d'état sont aussi un vecteur d'état.

Postulat 2: Opérateurs & Observables

• A chaque grandeur physiquement mesurable A, appelée **observable** ou variable dynamique, correspond un **opérateur** hermitien linéaire \widehat{A} dont les vecteurs propres forment une base **complète**.

Postulat 3: Mesures et valeurs propres des opérateurs

• La mesure d'un observable A peut être représentée par l'action de A sur un vecteur d'état $|\psi(\vec{r},t)\rangle$. Le seul résultat possible d'une telle mesure est l'une des valeurs propres a_n . $\hat{A}|\psi(t)\rangle = a_n|\psi_n\rangle$,

Postulat 4: Résultat probabiliste des mesures

Les mesures affect le résultat (la solution : ECOC).

Postulat 5: évolution temporelle d'un système

• L'équation de Schrödinger : $i\hbar \frac{\partial |\psi(t)\rangle}{\partial t} = \hat{H}|\psi(t)\rangle$,

Problèmes à 1D:

- Potentiels carrés
- Oscillateur harmonique

Problèmes à 3D:

- Potentiels carrés (coord cartésiennes, coord sphérique)
- Oscillateur harmonique (coord cartésiennes, coord sphérique)

Problèmes à 1D:

Introduction

$$-\frac{\hbar^2}{2m}\frac{d^2\psi(x)}{dx^2} + V(x)\psi(x) = E\psi(x)$$

Propriétés du mouvement d'une particule à une dimension :

- ✓ Particule libre
- ✓ Marche de potentiel
- ✓ Barrière de potentiel
- ✓ Puits de potentiel

Problèmes à 1D:

Particule libre

$$-\frac{\hbar^2}{2m}\frac{d^2\psi(x)}{dx^2} = E\psi(x) \qquad \Longrightarrow \qquad \left(\frac{d^2}{dx^2} + k^2\right)\psi(x) = 0,$$

avec
$$k^2 = 2mE/\hbar^2$$
,

La solution:

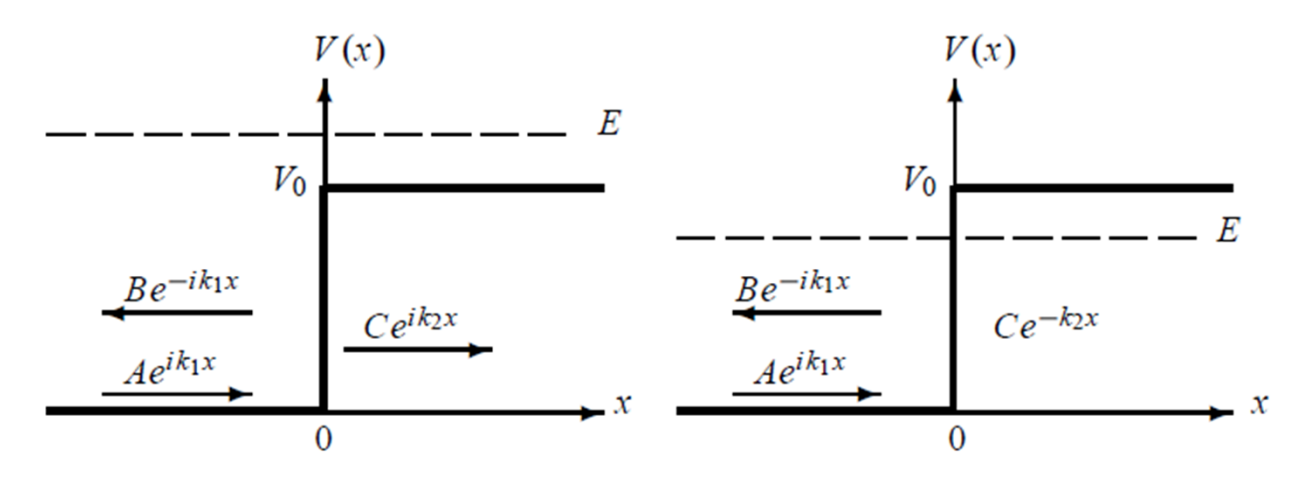
$$\psi_k(x) = A_+ e^{ikx} + A_- e^{-ikx},$$

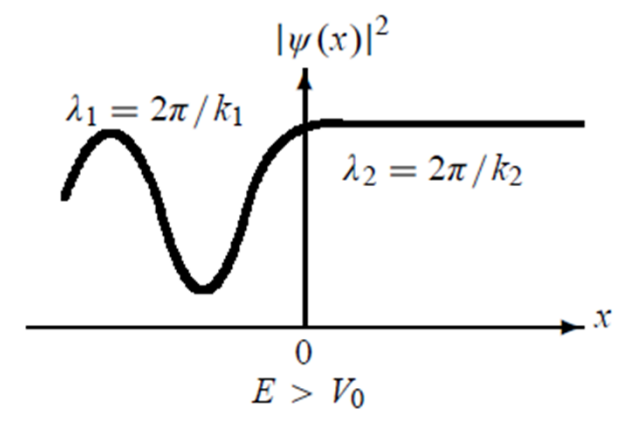
La probabilité:

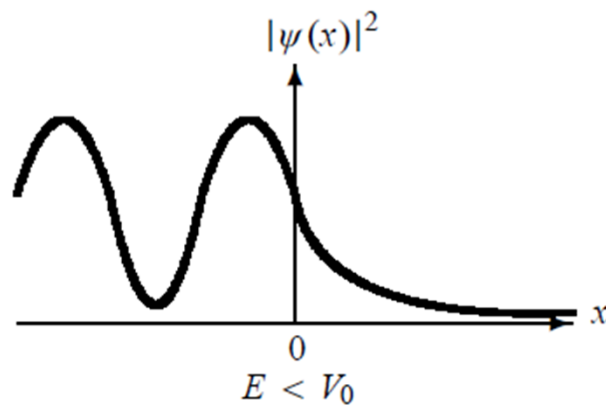
$$P_{\pm}(x,t) = |\Psi_{\pm}(x,t)|^2 = |A_{\pm}|^2$$

Marche de potentiel

$$V(x) = \begin{cases} 0, & x < 0, \\ V_0, & x \ge 0. \end{cases} \text{ avec } \begin{cases} \psi_1(x) = Ae^{ik_1x} + Be^{-ik_1x} & (x < 0), \\ \psi_2(x) = Ce^{ik_2x} + De^{-ik_2x} & (x \ge 0), \end{cases}$$
$$: k_1^2 = 2mE/\hbar^2 \text{ and } k_2^2 = 2m(E - V_0)/\hbar^2.$$







Marche de potentiel

Les coefficients de réflexion et de transmission :

$$R = \left| \frac{\text{reflected current density}}{\text{incident current density}} \right| = \left| \frac{J_{reflected}}{J_{incident}} \right|, \qquad T = \left| \frac{J_{transmitted}}{J_{incident}} \right|;$$

$$J_{incident} = \frac{i\hbar}{2m} \left(\psi_i(x) \frac{d\psi_i^*(x)}{dx} - \psi_i^*(x) \frac{d\psi_i(x)}{dx} \right) = \frac{\hbar k_1}{m} |A|^2.$$

$$J_{reflected} = -\frac{\hbar k_1}{m} |B|^2,$$
 $J_{transmitted} = \frac{\hbar k_2}{m} |C|^2.$

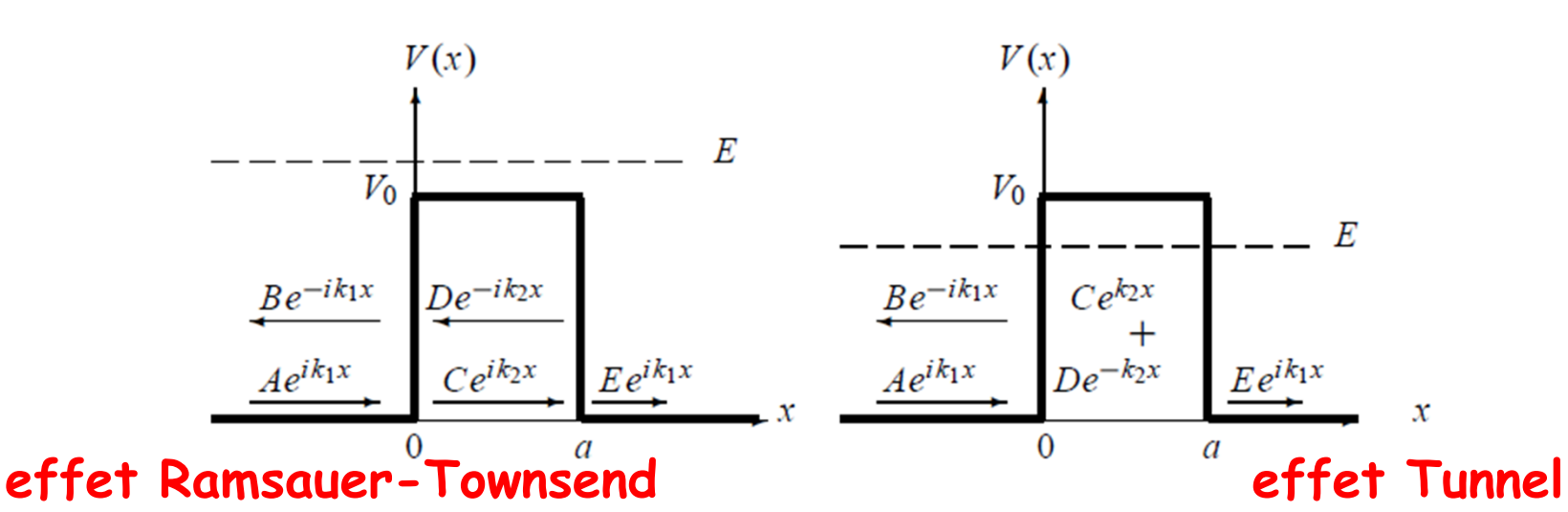
$$R = \frac{|B|^2}{|A|^2}, \qquad T = \frac{k_2}{k_1} \frac{|C|^2}{|A|^2}.$$

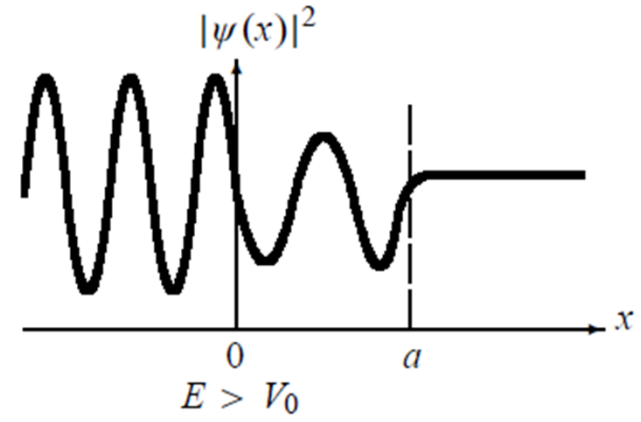
Cas particuliers

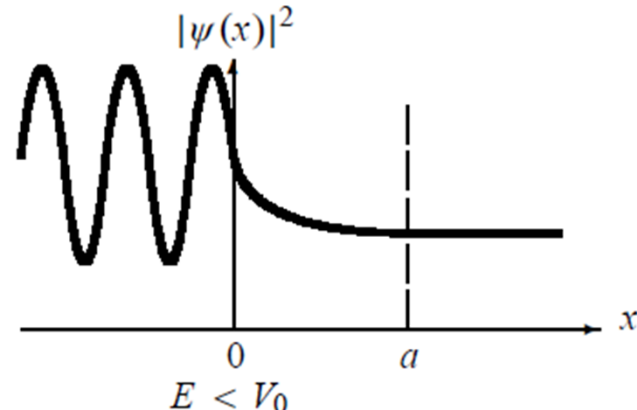
- $E \gg V_0$, $\Rightarrow R \approx 0$, $T \approx 1$.
- $E \ll V_0$, $\Rightarrow R \approx 1$, $T \approx 0$.

Barrière de potentiel

$$V(x) = \begin{cases} 0, & x < 0, \\ V_0, & 0 \le x \le a, \\ 0, & x > a. \end{cases} \text{ avec } \psi(x) = \begin{cases} \psi_1(x) = Ae^{ik_1x} + Be^{-ik_1x}, & x \le 0, \\ \psi_2(x) = Ce^{ik_2x} + De^{-ik_2x}, & 0 < x < a, \\ \psi_3(x) = Ee^{ik_1x}, & x \ge a, \end{cases}$$





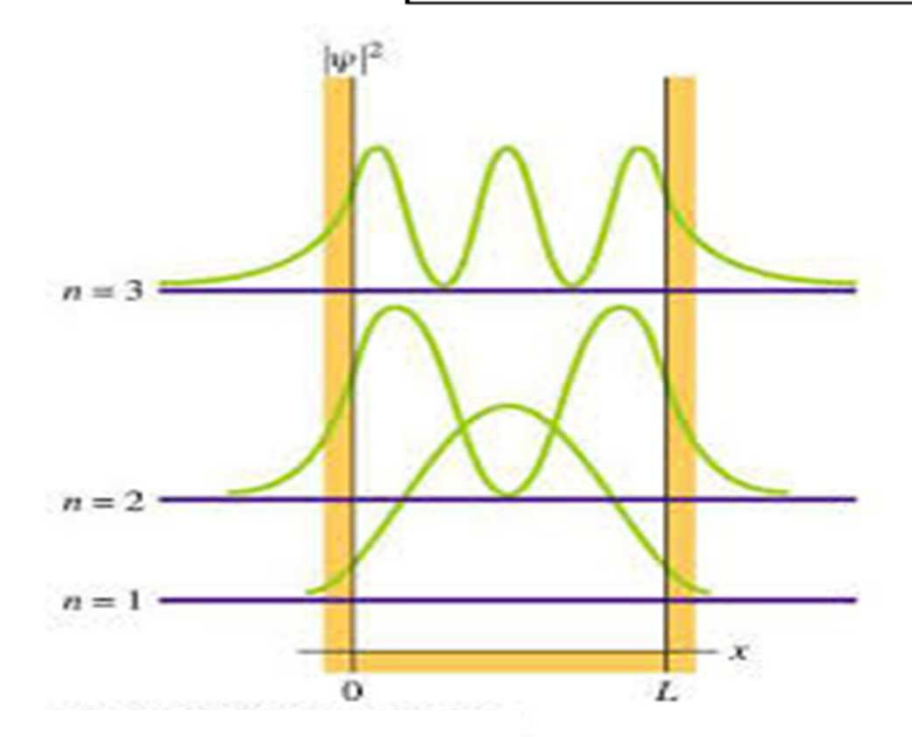


Puits de potentiel infini

$$V(x) = \begin{cases} +\infty, & x < 0, \\ 0, & 0 \le x \le a, \\ +\infty, & x > a. \end{cases}$$
 avec

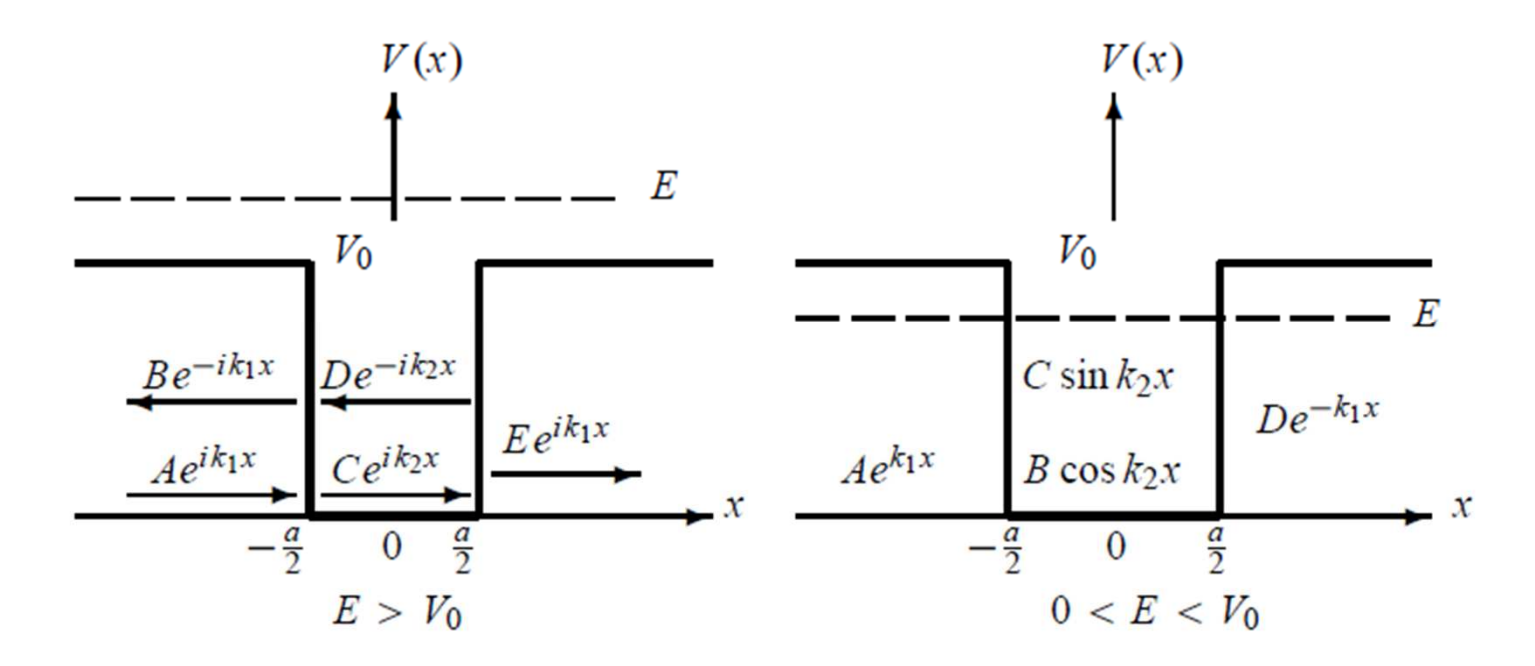
$$V(x) = \begin{cases} +\infty, & x < 0, \\ 0, & 0 \le x \le a, \\ +\infty, & x > a. \end{cases} \text{ avec} \begin{cases} E_n = \frac{\hbar^2}{2m} k_n^2 = \frac{\hbar^2 \pi^2}{2ma^2} n^2 & (n = 1, 2, 3, \cdots). \\ \hline \psi_n(x) = \sqrt{\frac{2}{a}} \sin\left(\frac{n\pi}{a}x\right) & (n = 1, 2, 3, \cdots). \end{cases}$$

$$\psi_n(x) = \sqrt{\frac{2}{a}} \sin\left(\frac{n\pi}{a}x\right)$$
 $(n = 1, 2, 3, \cdots).$



Puits de potentiel fini

$$V(x) = \begin{cases} V_0, & x < -a/2, \\ 0, & -a/2 \le x \le a/2, \\ V_0, & x > a/2. \end{cases}$$

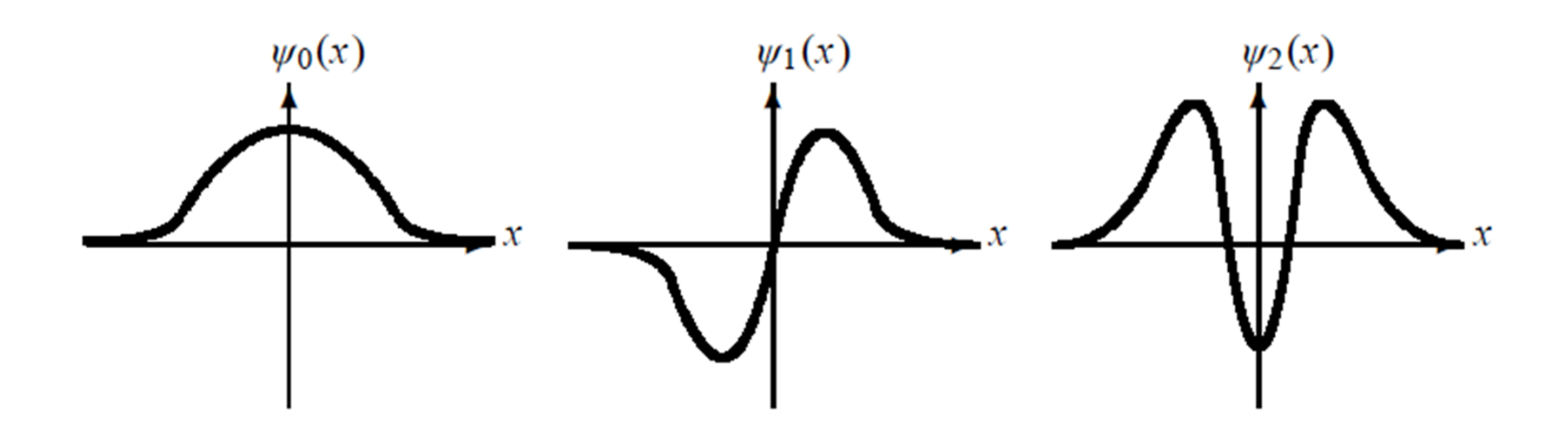


Oscillateur harmonique

$$\hat{H} = \frac{\hat{P}^2}{2m} + \frac{1}{2}m\omega^2 \hat{X}^2. \quad \Rightarrow \quad -\frac{\hbar^2}{2m} \frac{d^2 \psi(x)}{dx^2} + \frac{1}{2}m\omega^2 x^2 \psi(x) = E\psi(x),$$

L'énergie propre :
$$E_n = \left(n + \frac{1}{2}\right)\hbar\omega$$
 $(n = 0, 1, 2, 3, ...).$

L'état propre :
$$\psi_n(x) = \frac{1}{\sqrt{\sqrt{\pi} \, 2^n n! x_0}} e^{-x^2/2x_0^2} H_n\left(\frac{x}{x_0}\right),$$



Problèmes à 3D:

• Coordonnées cartésiennes: séparation des variables

$$-\frac{\hbar^2}{2m}\vec{\nabla}^2\Psi(x,y,z,t) + \hat{V}(x,y,z,t)\Psi(x,y,z) = i\hbar\frac{\partial\Psi(x,y,z,t)}{\partial t},$$

$$\Psi(x,y,z,t) = \psi(x,y,z)e^{-iEt/\hbar},$$

$$-\frac{\hbar^2}{2m}\vec{\nabla}^2\psi(x,y,z) + \hat{V}(x,y,z)\psi(x,y,z) = E\psi(x,y,z),$$

Eq. de Sch. à 3D \Rightarrow 3 éqs. de Sch. à 1D

- O Séparation du potentiel : $V(x, y, z) = V_x(x) + V_y(y) + V_z(z)$,
- O Séparation de l'Hamiltonien : $\left[\hat{H}_x + \hat{H}_y + \hat{H}_z\right] \psi(x, y, z) = E\psi(x, y, z)$,
- O Séparation de la fonction d'onde : $\psi(x, y, z) = X(x)Y(y)Z(z)$.
- o Séparation de l'énergie : $E_x + E_y + E_z = E$.

Problèmes à 3D:

• Particule libre $V_x = 0$, $V_y = 0$, and $V_z = 0$.

L'équation (1D):
$$\frac{d^2X(x)}{dx^2} = -k_x^2X(x),$$

La solution (1D):
$$X(x) = \frac{1}{\sqrt{2\pi}}e^{ik_xx}$$
.

La solution (3D):
$$\psi_{\vec{k}}(x, y, z) = (2\pi)^{-3/2} e^{ik_x x} e^{ik_y y} e^{ik_z z} = (2\pi)^{-3/2} e^{i\vec{k}\cdot\vec{r}}$$
,

L'énergies propres :
$$E = E_x + E_y + E_z = \frac{\hbar^2}{2m} \left(k_x^2 + k_y^2 + k_z^2 \right) = \frac{\hbar^2}{2m} \vec{k}^2$$
.

avec
$$|\vec{k}| = \sqrt{k_x^2 + k_y^2 + k_z^2} = constant$$

Boite de potentiel

$$V(x, y, z) = \begin{cases} 0, & 0 < x < a, \ 0 < y < b, \ 0 < z < c, \\ \infty, & \text{elsewhere,} \end{cases}$$

avec
$$\psi_{n_x n_y n_z}(x, y, z) = \sqrt{\frac{8}{abc}} \sin\left(\frac{n_x \pi}{a}x\right) \sin\left(\frac{n_y \pi}{b}y\right) \sin\left(\frac{n_z \pi}{c}z\right),$$

$$E_{n_x n_y n_z} = \frac{\hbar^2 \pi^2}{2m} \left(\frac{n_x^2}{a^2} + \frac{n_y^2}{b^2} + \frac{n_z^2}{c^2} \right).$$

boite cubique:

$$E_{n_x n_y n_z} = \frac{\hbar^2 \pi^2}{2mL^2} (n_x^2 + n_y^2 + n_z^2), \qquad n_x, \ n_y, \ n_z = 1, 2, 3, \dots$$

Dégénérescence :

$E_{n_x n_y n_z} / E_1$	(n_x, n_y, n_z)	g_n
3	(111)	1
6	(211), (121), (112)	3
9	(221), (212), (122)	3
11	(311), (131), (113)	3
12	(222)	1
14	(321), (312), (231), (213), (132), (123)	6

Oscillateur harmonique (OH)

$$\hat{V}(\hat{x}, \hat{y}, \hat{z}) = \frac{1}{2} m \omega_x^2 \hat{X}^2 + \frac{1}{2} m \omega_y^2 \hat{Y}^2 + \frac{1}{2} m \omega_z^2 \hat{Z}^2.$$

avec

$$E_{n_x n_y n_z} = E_{n_x} + E_{n_y} + E_{n_z} = \left(n_x + \frac{1}{2}\right)\hbar\omega_x + \left(n_y + \frac{1}{2}\right)\hbar\omega_y + \left(n_z + \frac{1}{2}\right)\hbar\omega_z,$$

OH isotopique: $\omega_x = \omega_y = \omega_z = \omega$,

$$\Rightarrow \qquad \boxed{E_{n_x n_y n_z} = \left(n_x + n_y + n_z + \frac{3}{2}\right) \hbar \omega.}$$

Dégénérescence : $g_n = \frac{1}{2}(n+1)(n+2)$,

Problèmes à 3D:

• Coordonnées sphériques: potentiel central $V(\vec{r}) = V(r)$,

Coord. cart. \Rightarrow coord. sph. :

$$\begin{aligned} x &= r \sin\theta \cos\varphi, & y &= r \sin\theta \sin\varphi, & z &= r \cos\theta. \\ \nabla^2 &= \nabla_r^2 - \frac{1}{\hbar^2 r^2} \nabla_\Omega^2 = \frac{1}{r^2} \frac{\partial}{\partial r} \left(r^2 \frac{\partial}{\partial r} \right) - \frac{1}{\hbar^2 r^2} \hat{\vec{L}}^2 = \frac{1}{r} \frac{\partial^2}{\partial r^2} r - \frac{1}{\hbar^2 r^2} \hat{\vec{L}}^2, \\ \text{avec} & \quad \hat{\vec{L}}^2 &= -\hbar^2 \left[\frac{1}{\sin\theta} \frac{\partial}{\partial \theta} \left(\sin\theta \frac{\partial}{\partial \theta} \right) + \frac{1}{\sin^2\theta} \frac{\partial^2}{\partial \varphi^2} \right]. \end{aligned}$$

L'équation de Schrödinger : $\begin{bmatrix} \frac{1}{2M} \frac{1}{r} \frac{\partial^2}{\partial r^2} r \\ \frac{1}{2Mr^2} \hat{\vec{L}}^2 \end{bmatrix} + V(r) \psi(\vec{r}) = E \psi(\vec{r}).$

o L'équation de Schrödinger radiale: Énergie cinétique rotationnelle

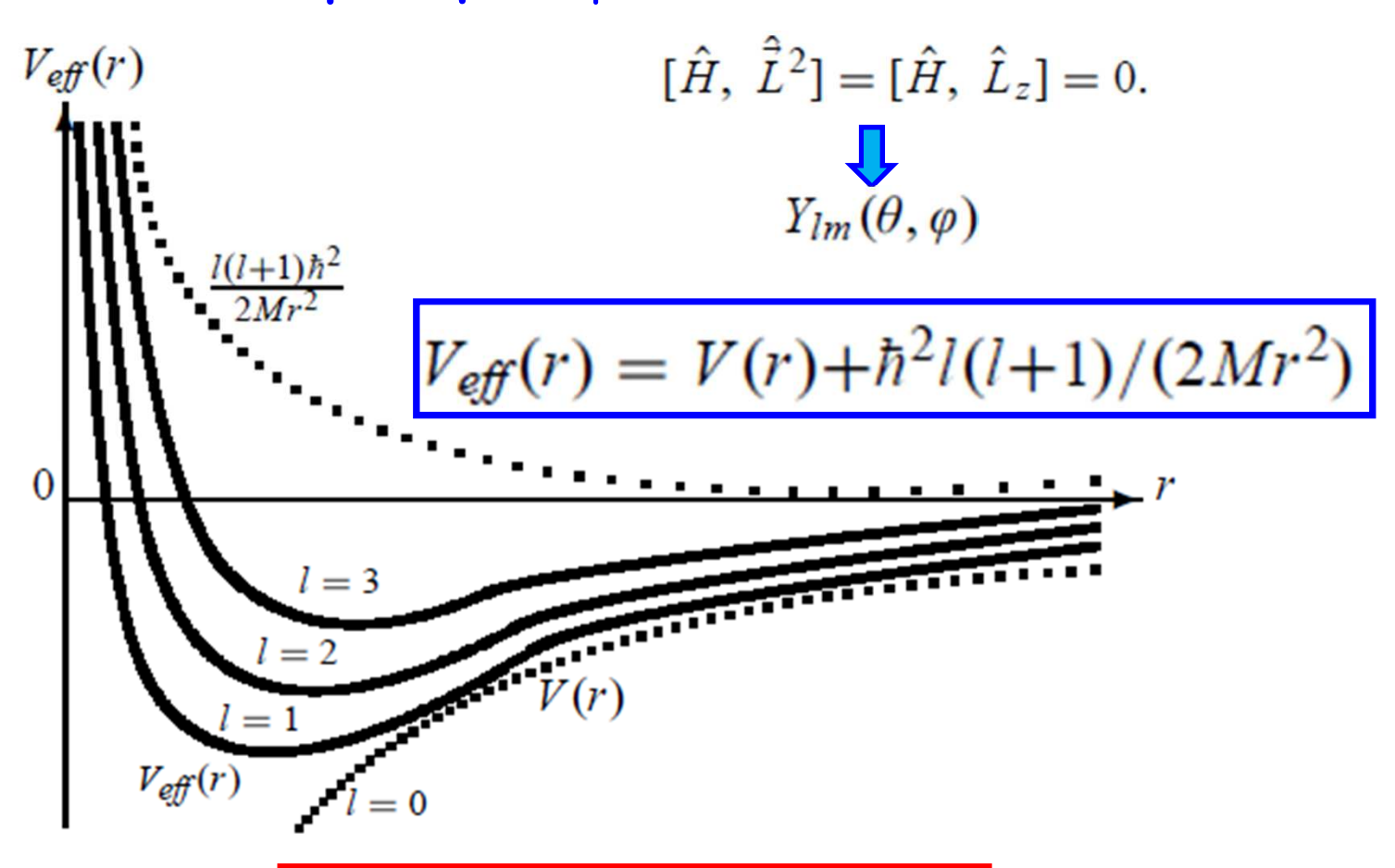
$$-\frac{\hbar^2}{2M}\frac{d^2}{dr^2}(rR_{nl}(r)) + \left[V(r) + \frac{l(l+1)\hbar^2}{2Mr^2}\right](rR_{nl}(r)) = E_n(rR_{nl}(r)).$$

ou

$$-\frac{\hbar^2}{2M}\frac{d^2U_{nl}(r)}{dr^2} + V_{eff}(r)U_{nl}(r) = E_nU_{nl}(r), \quad \text{avec} \quad \begin{cases} U_{nl}(r) = rR_{nl}(r) \\ V_{eff}(r) = V(r) + \frac{l(l+1)\hbar^2}{2Mr^2}, \end{cases}$$

Problèmes à 3D:

• Coordonnées sphériques: potentiel central



$$\psi_{nlm}(r,\theta,\varphi) = R_{nl}(r)Y_{lm}(\theta,\varphi).$$

Problèmes à 3D:

Particule libre

$$\psi_{klm}(r,\theta,\psi) = j_l(kr)Y_{lm}(\theta,\varphi),$$

Puits quantique sphérique

cas de
$$0 < r < a$$
 $R_l(r) = Aj_l(k_1r) = Aj_l\left(\frac{\sqrt{2M(E+V_0)}}{\hbar}r\right)$, cas de $r > a$ $R_l(ik_2r) = B\left[j_l(ik_2r) \pm n_l(ik_2r)\right]$,

• Oscillateur harmonique $V(r) = \frac{1}{2}M\omega^2 r^2$

$$-\frac{\hbar^2}{2M}\frac{d^2U_{nl}(r)}{dr^2} + \left[\frac{1}{2}M\omega^2r^2 + \frac{l(l+1)\hbar^2}{2Mr^2}\right]U_{nl}(r) = EU_{nl}(r).$$

avec $U(r) = f(r)r^{l+1}e^{-M\omega r^2/2\hbar}$, et $f(r) = \sum_{n=0}^{\infty} a_n r^n = a_0 + a_1 r + a_2 r^2 + \dots + a_n r^n + \dots$

$$\psi_{nlm}(r,\theta,\varphi) = R_{nl}(r)Y_{lm}(\theta,\varphi) = \frac{U_{nl}(r)}{r}Y_{lm}(\theta,\varphi) = r^l f(r)Y_{lm}(\theta,\varphi)e^{-M\omega r^2/2\hbar},$$

Introduction: Séparation des variables

- Séparation temporelle : $\Psi(\vec{r}_e, \vec{r}_p, t) = \chi(\vec{r}_e, \vec{r}_p)e^{-iEt/\hbar}$,
- Séparation du centre de mouvement de masse :

$$\Psi_E(\vec{R}, \vec{r}) = \Phi(\vec{R})\psi(\vec{r}),$$

$$\left[-\frac{\hbar^2}{2M} \frac{1}{\Phi(\vec{R})} \nabla_R^2 \Phi(\vec{R}) \right] + \left[-\frac{\hbar^2}{2\mu} \frac{1}{\psi(\vec{r})} \nabla_r^2 \psi(\vec{r}) + V(r) \right] = E.$$

$$-\frac{\hbar^2}{2M}\nabla_R^2\Phi(\vec{R}) = E_R\Phi(\vec{R}),$$

$$-\frac{\hbar^2}{2\mu}\nabla_r^2\psi(\vec{r}) + V(r)\psi(\vec{r}) = E_r\psi(\vec{r}),$$

$$E_R + E_r = E.$$

Fonction radiale de l'atome d'hydrogène : $V(r) = -\frac{e^2}{r}$

$$-\frac{\hbar^2}{2\mu}\frac{d^2U(r)}{dr^2} + \left[\frac{l(l+1)\hbar^2}{2\mu r^2} - \frac{e^2}{r}\right]U(r) = EU(r),$$

Fonction radiale de l'atome d'hydrogène : $V(r) = -\frac{e^2}{r}$

Solution:

$$U(r) = r^{l+1} f(r) e^{-\lambda r},$$

$$\text{avec} \quad \frac{d^2f}{dr^2} + 2\left(\frac{l+1}{r} - \lambda\right)\frac{df}{dr} + 2\left[\frac{-\lambda(l+1) + \mu e^2/\hbar^2}{r}\right]f(r) = 0. \qquad f(r) = \sum_{k=0}^N b_k r^k.$$

Energie propre:

$$E_n = -\frac{\mu e^4}{2\hbar^2} \frac{1}{n^2} = -\frac{e^2}{2a_0} \frac{1}{n^2},$$

Fonction propre:

$$R_{nl}(r) = \frac{1}{r} U_{nl}(r) = A_{nl} r^l e^{-\lambda r} \sum_{k=0}^{N} b_k r^k = A_{nl} r^l e^{-r/na_0} \sum_{k=0}^{N} b_k r^k,$$

Fonction radiale de l'atome d'hydrogène :
$$V(r) = -\frac{e^2}{r}$$

Solution : $R_{nl}(r) = \frac{1}{r}U_{nl}(r) = A_{nl}r^le^{-\lambda r}\sum_{k=0}^N b_k r^k = A_{nl}r^le^{-r/na_0}\sum_{k=0}^N b_k r^k$,

Laguerre polynomials $L_k(r)$	Associated Laguerre polynomials $L_k^N(r)$
$L_0 = 1$	
$L_1 = 1 - r$	$L_1^1 = -1$
$L_2 = 2 - 4r + r^2$	$L_2^1 = -4 + 2r$, $L_2^2 = 2$
$L_3 = 6 - 18r + 9r^2 - r^3$	$L_3^1 = -18 + 18r - 3r^2$, $L_3^2 = 18 - 6r$, $L_3^3 = -6$
$L_4 = 24 - 96r + 72r^2 - 16r^3 + r^4$	$L_4^1 = -96 + 144r - 48r^2 + 4r^3$
	$L_4^2 = 144 - 96r + 12r^2$, $L_4^3 = 24r - 96$, $L_4^4 = 24$
$L_5 = 120 - 600r + 600r^2 - 200r^3$	$L_5^1 = -600 + 1200r - 600r^2 + 100r^3 - 5r^4$
$+25r^4-r^5$	$L_5^2 = 1200 - 1200r + 300r^2 - 20r^3$
	$L_5^3 = -1200 + 600r - 60r^2$, $L_5^4 = 600 - 120r$
	$L_5^5 = -120$

Fonction radiale de l'atome d'hydrogène : $V(r) = -\frac{e^2}{r}$

Solution:

$$R_{nl}(r) = N_{nl} \left(\frac{2r}{na_0}\right)^l e^{-r/na_0} L_{n+l}^{2l+1} \left(\frac{2r}{na_0}\right),$$

$$R_{10}(r) = 2a_0^{-3/2}e^{-r/a_0}$$

$$R_{21}(r) = \frac{1}{\sqrt{6a_0^3}} \frac{r}{2a_0}e^{-r/2a_0}$$

$$R_{20}(r) = \frac{1}{\sqrt{2a_0^3}} \left(1 - \frac{r}{2a_0}\right)e^{-r/2a_0}$$

$$R_{31}(r) = \frac{8}{9\sqrt{6a_0^3}} \left(1 - \frac{r}{6a_0}\right) \left(\frac{r}{3a_0}\right)e^{-r/3a_0}$$

$$R_{32}(r) = \frac{4}{9\sqrt{30a_0^3}} \left(\frac{r}{3a_0}\right)^2 e^{-r/3a_0}$$

$$R_{nl}(r) = -\left(\frac{2}{na_0}\right)^{3/2} \sqrt{\frac{(n-l-1)!}{2n[(n+l)!]^3}} \left(\frac{2r}{na_0}\right)^l e^{-r/na_0} L_{n+l}^{2l+1} \left(\frac{2r}{na_0}\right)^l$$

Chapitre III: Atome d'Hydrogène

Fonction radiale de l'atome d'hydrogène : $V(r) = -\frac{e^2}{r}$

Solution:



n	1	Orbitals	m	g_n	E_n
1	0	s	0	1	$-e^2/(2a_0)$
2	0	s	0	4	$-e^2/(8a_0)$
	1	p	-1, 0, 1		
3	0	s	0	9	$-e^2/(18a_0)$
	1	p	-1, 0, 1		
	2	d	-2, -1, 0, 1, 2		
4	0	S	0	16	$-e^2/(32a_0)$
	1	p	-1, 0, 1		
	2	d	-2, -1, 0, 1, 2		
	3	f	-3, -2, -1, 0, 1, 2, 3		
5	0	s	0	25	$-e^2/(50a_0)$
	1	p	-1, 0, 1		
	2	d	-2, -1, 0, 1, 2		
	3	f	-3, -2, -1, 0, 1, 2, 3		
	4	g	-4, -3, -2, -1, 0, 1, 2, 3, 4		



Chapitre III: Atome d'Hydrogène

Fonction radiale de l'atome d'hydrogène : $V(r) = -\frac{e^2}{r}$

. . .

$$l = 2$$

$$(3, 0), (3, 1), (3, 2)$$

$$(3, 2, 1), (3, 1, 1)$$

$$(3, 2, 1), (3, 1, 1)$$

$$(3, 0, 0), (3, 1, 0), (3, 2, 0)$$

$$(3, 2, -1), (3, 1, -1)$$

$$(3, 2, -2)$$

$$(3, 0, 0), (3, 1, 0), (3, 2, 0)$$

$$(3, 2, -2)$$

$$(3, 2, -2)$$

$$(3, 2, -2)$$

$$(3, 2, -2)$$

$$(3, 2, -2)$$

$$(3, 2, -2)$$

$$(3, 2, -2)$$

$$(3, 2, -2)$$

$$(3, 2, -2)$$

$$(3, 2, -2)$$

$$(3, 2, -2)$$

$$(3, 2, -2)$$

$$(3, 2, -2)$$

$$(3, 2, -2)$$

$$(3, 2, -2)$$

$$(3, 2, -2)$$

$$(3, 2, -2)$$

$$(3, 2, -2)$$

$$(3, 2, -2)$$

$$(3, 2, -2)$$

$$(3, 2, -2)$$

$$(3, 2, -2)$$

$$(3, 2, -2)$$

$$(3, 2, -2)$$

$$(3, 2, -2)$$

$$(3, 2, -2)$$

$$(3, 2, -2)$$

$$(3, 2, -2)$$

$$(3, 2, -2)$$

$$(3, 2, -2)$$

$$(3, 2, -2)$$

$$(3, 2, -2)$$

$$(3, 2, -2)$$

$$(3, 2, -2)$$

$$(3, 2, -2)$$

$$(3, 2, -2)$$

$$(3, 2, -2)$$

$$(3, 2, -2)$$

$$(3, 2, -2)$$

$$(3, 2, -2)$$

$$(3, 2, -2)$$

$$(3, 2, -2)$$

$$(3, 2, -2)$$

$$(3, 2, -2)$$

$$(3, 2, -2)$$

$$(3, 2, -2)$$

$$(3, 2, -2)$$

$$(3, 2, -2)$$

$$(3, 2, -2)$$

$$(3, 2, -2)$$

$$(3, 2, -2)$$

$$(3, 2, -2)$$

$$(3, 2, -2)$$

$$(3, 2, -2)$$

$$(3, 2, -2)$$

$$(3, 2, -2)$$

$$(3, 2, -2)$$

$$(3, 2, -2)$$

$$(3, 2, -2)$$

$$(3, 2, -2)$$

$$(3, 2, -2)$$

$$(3, 2, -2)$$

$$(3, 2, -2)$$

$$(3, 2, -2)$$

$$(3, 2, -2)$$

$$(3, 2, -2)$$

$$(3, 2, -2)$$

$$(3, 2, -2)$$

$$(3, 2, -2)$$

$$(3, 2, -2)$$

$$(3, 2, -2)$$

$$(3, 2, -2)$$

$$(3, 2, -2)$$

$$(3, 2, -2)$$

$$(3, 2, -2)$$

$$(3, 2, -2)$$

$$(3, 2, -2)$$

$$(3, 2, -2)$$

$$(3, 2, -2)$$

$$(3, 2, -2)$$

$$(3, 2, -2)$$

$$(3, 2, -2)$$

$$(3, 2, -2)$$

$$(3, 2, -2)$$

$$(3, 2, -2)$$

$$(3, 2, -2)$$

$$(3, 2, -2)$$

$$(3, 2, -2)$$

$$(3, 2, -2)$$

$$(3, 2, -2)$$

$$(3, 2, -2)$$

$$(3, 2, -2)$$

$$(3, 2, -2)$$

$$(3, 2, -2)$$

$$(3, 2, -2)$$

$$(3, 2, -2)$$

$$(3, 2, -2)$$

$$(3, 2, -2)$$

$$(3, 2, -2)$$

$$(3, 2, -2)$$

$$(3, 2, -2)$$

$$(3, 2, -2)$$

$$(3, 2, -2)$$

$$(3, 2, -2)$$

$$(3, 2, -2)$$

$$(3, 2, -2)$$

$$(3, 2, -2)$$

$$(3, 2, -2)$$

$$(3, 2, -2)$$

$$(3, 2, -2)$$

$$(3, 2, -2)$$

$$(3, 2, -2)$$

$$(3, 2, -2)$$

$$(3, 2, -2)$$

$$(3, 2, -2)$$

$$(3, 2, -2)$$

$$(3, 2, -2)$$

$$(3, 2, -2)$$

$$(3, 2, -2)$$

$$(3, 2, -2)$$

$$(3, 2, -2)$$

$$(3, 2, -2)$$

$$(3, 2, -2)$$

$$l = 1 \qquad (2, 0), (2, 1) \qquad E_{2}^{0} + B\mu_{B}$$

$$g_{l} = g_{1} = 2 \qquad (2, 1, 1) \qquad E_{2}^{0} + B\mu_{B}$$

$$E_{2}^{0} - B\mu_{B}$$

$$l = 0 \qquad (n, l) = (1, 0) \qquad (n, l, m) = (1, 0, 0) \qquad E_{1}^{0}$$

$$\vec{B} = 0 \qquad \vec{B} \neq 0$$

Système à plusieurs particule

Systèmes à multicorps (Many-body systems)

Solides, liquides et gaz : $\sim 10^{-23}$ atomes,

chaque atome contient 2-300 particules

L'équation de Schrödinger

$$\hat{H} = \sum_{j=1}^{N} \frac{\hat{\vec{P}}_{j}^{2}}{2m_{j}} + \hat{V}(\vec{r}_{1}, \vec{r}_{2}, \dots, \vec{r}_{N}, t) = -\sum_{j=1}^{N} \frac{\hbar^{2}}{2m_{j}} \nabla_{j}^{2} + \hat{V}(\vec{r}_{1}, \vec{r}_{2}, \dots, \vec{r}_{N}, t),$$

Etats stationnaires : \hat{V} est indépendant du temps

$$\Psi(\vec{r}_1, \vec{r}_2, \dots, \vec{r}_N, t) = \psi(\vec{r}_1, \vec{r}_2, \dots, \vec{r}_N) e^{-iEt/\hbar},$$

Donc l'équation de Schrödinger devient

$$\left[-\sum_{j=1}^{N} \frac{\hbar^2}{2m_j} \vec{\nabla}_j^2 + V(\vec{r}_1, \dots, \vec{r}_N)\right] \psi(\vec{r}_1, \vec{r}_2, \dots, \vec{r}_N) = E \ \psi(\vec{r}_1, \vec{r}_2, \dots, \vec{r}_N).$$

Atomes avec plusieurs électrons

$$\left[-\frac{\hbar^2}{2m_e} \sum_{i=1}^{Z} \vec{\nabla}_{r_i}^2 - \frac{\hbar^2}{2M} \vec{\nabla}_{R}^2 - \sum_{i=1}^{Z} \frac{Z e^2}{|\vec{r}_i - \vec{R}|} + \sum_{i>j} \frac{e^2}{|\vec{r}_i - \vec{r}_j|} \right] \psi(\vec{r}_1, \vec{r}_2, \dots, \vec{r}_Z, \vec{R})
= E \psi(\vec{r}_1, \vec{r}_2, \dots, \vec{r}_Z, \vec{R}),$$

Symétrie d'échange

Opérateur d'échange (permutation)

$$\hat{P}_{ij}\psi(\xi_1,\ldots,\xi_i,\ldots,\xi_j,\ldots,\xi_N)=\psi(\xi_1,\ldots,\xi_j,\ldots,\xi_i,\ldots,\xi_N);$$

Puisque $\hat{P}_{ij}^2 = 1$:

$$\hat{P}_{ij}\psi(\xi_1,\ldots,\,\xi_i,\ldots,\,\xi_j,\ldots,\xi_N)=\pm\psi(\xi_1,\ldots,\,\xi_i,\ldots,\,\xi_j,\ldots,\xi_N).$$

Fonction propre symétrique ou antisymétrique

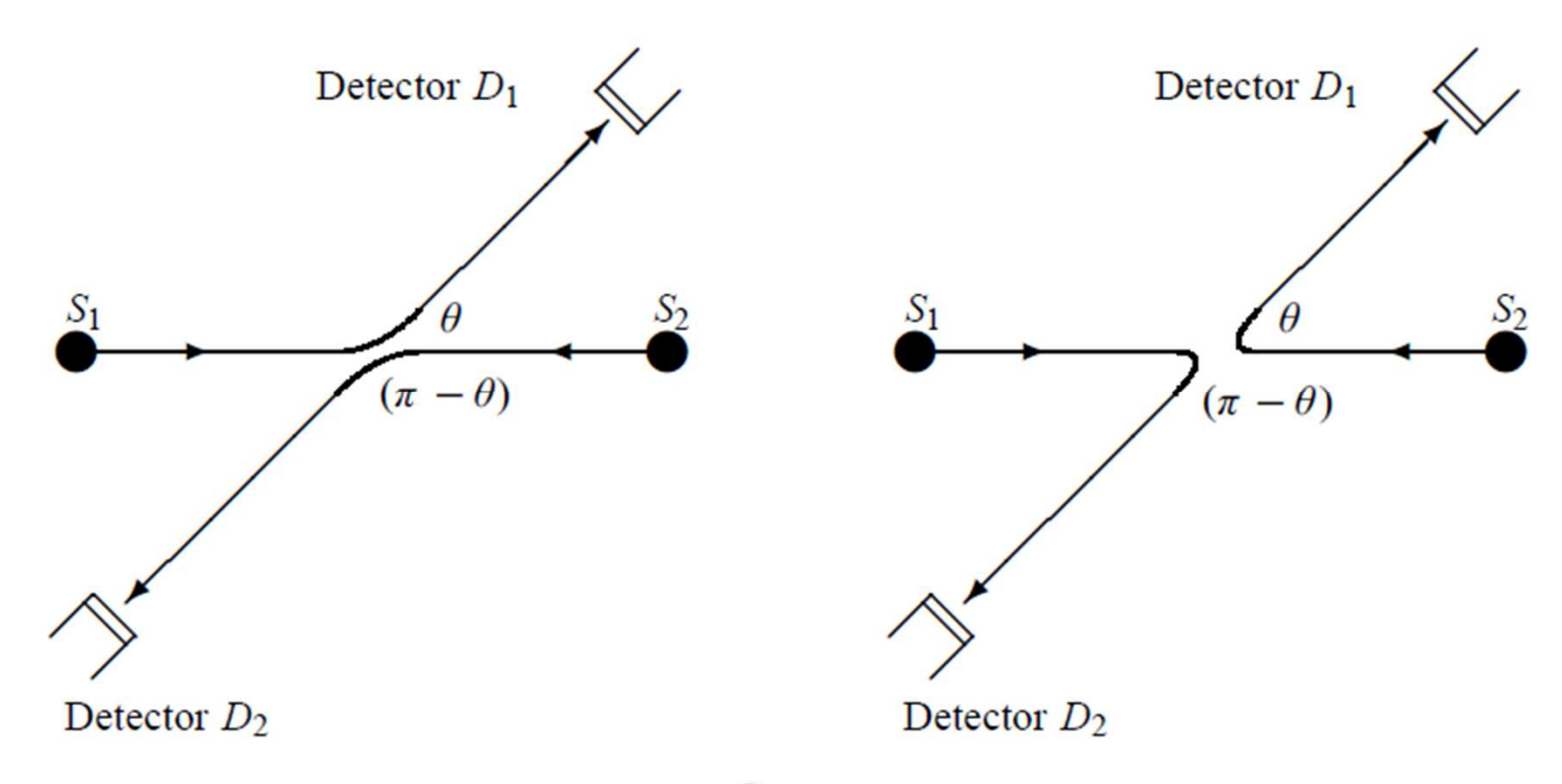
$$\psi_s(\xi_1,\ldots,\xi_i,\ldots,\xi_j,\ldots,\xi_N) = \psi_s(\xi_1,\ldots,\xi_j,\ldots,\xi_i,\ldots,\xi_N),$$

$$\psi_a(\xi_1,\ldots,\xi_i,\ldots,\xi_j,\ldots,\xi_N) = -\psi_a(\xi_1,\ldots,\xi_j,\ldots,\xi_i,\ldots,\xi_N).$$

Particules identiques

Fonction d'onde

$$\psi(\xi_1,\,\xi_2,\ldots,\,\xi_N).$$



$$|\psi(\xi_1, \, \xi_2, \, \ldots, \, \xi_i, \, \ldots, \, \xi_j, \, \ldots, \, \xi_N)|^2 = |\psi(\xi_1, \, \xi_2, \, \ldots, \, \xi_j, \, \ldots, \, \xi_i, \, \ldots, \, \xi_N)|^2;$$

Particules identiques

• Fonction d'onde symétrique si

Le spin $S_i = 0, \hbar, 2\hbar, ...$: les bosons (photon, pion, particule $\alpha, ...$)

Fonction d'onde antisymétrique si

Le spin $S_i = \frac{\hbar}{2}, \frac{3\hbar}{2}, \frac{5\hbar}{2}, \dots$: les fermions (électron, proton, neutron, ...)

Conclusion: Particule identique sont soit symétrique (boson) ou antisymétrique (fermion)

Construction des fonctions symétriques & antisymétriques

• Cas de 2 particules

$$\psi_s(\xi_1, \xi_2) = \frac{1}{\sqrt{2}} \Big[\psi(\xi_1, \xi_2) + \psi(\xi_2, \xi_1) \Big]$$

$$\psi_a(\xi_1, \, \xi_2) = \frac{1}{\sqrt{2}} \Big[\, \psi(\xi_1, \, \xi_2) - \psi(\xi_2, \, \xi_1) \Big],$$

• Cas de 3 particules

$$\psi_{s}(\xi_{1}, \xi_{2}, \xi_{3}) = \frac{1}{\sqrt{6}} \left[\psi(\xi_{1}, \xi_{2}, \xi_{3}) + \psi(\xi_{1}, \xi_{3}, \xi_{2}) + \psi(\xi_{2}, \xi_{3}, \xi_{1}) \right. \\
+ \psi(\xi_{2}, \xi_{1}, \xi_{3}) + \psi(\xi_{3}, \xi_{1}, \xi_{2}) + \psi(\xi_{3}, \xi_{2}, \xi_{1}) \right], \\
\psi_{a}(\xi_{1}, \xi_{2}, \xi_{3}) = \frac{1}{\sqrt{6}} \left[\psi(\xi_{1}, \xi_{2}, \xi_{3}) - \psi(\xi_{1}, \xi_{3}, \xi_{2}) + \psi(\xi_{2}, \xi_{3}, \xi_{1}) \right. \\
- \psi(\xi_{2}, \xi_{1}, \xi_{3}) + \psi(\xi_{3}, \xi_{1}, \xi_{2}) - \psi(\xi_{3}, \xi_{2}, \xi_{1}) \right].$$

Système des particules identiques non-interactives

 $m = m_i$, $\hat{V}_i(\xi_i) = \hat{V}(\xi_i) \Rightarrow N$ -équations identiques d'une seule particule

$$\left[-\frac{\hbar^2}{2m}\nabla_i^2 + \hat{V}(\xi_i)\right]\psi_{n_i}(\xi_i) = \varepsilon_{n_i}\psi_{n_i}(\xi_i).$$

$$E_{n_1,n_2,\ldots,n_N} = \sum_{i=1}^N \varepsilon_{n_i}, \quad \checkmark$$



$$\psi_{n_1,n_2,...,n_N}(\xi_1,\xi_2,...,\xi_N) = \prod_{i=1}^N \psi_{n_i}(\xi_i)$$
:



Fonction d'onde d'un système de 2 particules (symétrique)

$$\psi_s(\xi_1,\xi_2) = \frac{1}{\sqrt{2}} \Big[\psi_{n_1}(\xi_1) \psi_{n_2}(\xi_2) + \psi_{n_1}(\xi_2) \psi_{n_2}(\xi_1) \Big],$$

$$\psi_a(\xi_1, \xi_2) = \frac{1}{\sqrt{2}} \left[\psi_{n_1}(\xi_1) \psi_{n_2}(\xi_2) - \psi_{n_1}(\xi_2) \psi_{n_2}(\xi_1) \right],$$

$$\psi_s(\xi_1, \xi_2) = \frac{1}{\sqrt{2!}} \sum_{P} \hat{P} \psi_{n_1}(\xi_1) \psi_{n_2}(\xi_2),$$

• Fonction d'onde d'un système de 2 particules (antisymétrique)

$$\psi_a(\xi_1, \xi_2) = \frac{1}{\sqrt{2!}} \sum_{P} (-1)^P \hat{P} \, \psi_{n_1}(\xi_1) \psi_{n_2}(\xi_2),$$

$$\psi_a(\xi_1, \xi_2) = \frac{1}{\sqrt{2!}} \begin{vmatrix} \psi_{n_1}(\xi_1) & \psi_{n_1}(\xi_2) \\ \psi_{n_2}(\xi_1) & \psi_{n_2}(\xi_2) \end{vmatrix}.$$

Fonction d'onde d'un système de 3 particules (symétrique)

$$\psi_{s}(\xi_{1}, \xi_{2}, \xi_{3}) = \frac{1}{\sqrt{3!}} \sum_{P} \hat{P} \psi_{n_{1}}(\xi_{1}) \psi_{n_{2}}(\xi_{2}) \psi_{n_{3}}(\xi_{3}),$$

$$\psi_{s}(\xi_{1}, \xi_{2}, \xi_{3}) = \frac{1}{\sqrt{3!}} \left[\psi_{n_{1}}(\xi_{1}) \psi_{n_{2}}(\xi_{2}) \psi_{n_{3}}(\xi_{3}) + \psi_{n_{1}}(\xi_{1}) \psi_{n_{2}}(\xi_{3}) \psi_{n_{3}}(\xi_{2}) + \psi_{n_{1}}(\xi_{2}) \psi_{n_{2}}(\xi_{1}) \psi_{n_{3}}(\xi_{3}) + \psi_{n_{1}}(\xi_{2}) \psi_{n_{2}}(\xi_{3}) \psi_{n_{3}}(\xi_{1}) + \psi_{n_{1}}(\xi_{3}) \psi_{n_{2}}(\xi_{1}) \psi_{n_{3}}(\xi_{1}) + \psi_{n_{1}}(\xi_{3}) \psi_{n_{2}}(\xi_{2}) \psi_{n_{3}}(\xi_{1}) \right],$$

• Fonction d'onde d'un système de 3 particules (antisymétrique)

$$\psi_{a}(\xi_{1}, \xi_{2}, \xi_{3}) = \frac{1}{\sqrt{3!}} \sum_{P} (-1)^{P} \hat{P} \psi_{n_{1}}(\xi_{1}) \psi_{n_{2}}(\xi_{2}) \psi_{n_{3}}(\xi_{3}),$$

$$\psi_{a}(\xi_{1}, \xi_{2}, \xi_{3}) = \frac{1}{\sqrt{3!}} \begin{bmatrix} \psi_{n_{1}}(\xi_{1}) & \psi_{n_{1}}(\xi_{2}) & \psi_{n_{1}}(\xi_{3}) \\ \psi_{n_{2}}(\xi_{1}) & \psi_{n_{2}}(\xi_{2}) & \psi_{n_{2}}(\xi_{3}) \\ \psi_{n_{3}}(\xi_{1}) & \psi_{n_{3}}(\xi_{2}) & \psi_{n_{3}}(\xi_{3}) \end{bmatrix}.$$

• Fonction d'onde d'un système de plusieurs particules

$$\psi_{s}(\xi_{1}, \xi_{2}, \dots, \xi_{N}) = \frac{1}{\sqrt{N!}} \sum_{P} \hat{P} \psi_{n_{1}}(\xi_{1}) \psi_{n_{2}}(\xi_{2}) \cdots \psi_{n_{N}}(\xi_{N}),$$

$$\psi_{a}(\xi_{1}, \xi_{2}, \dots, \xi_{N}) = \frac{1}{\sqrt{N!}} \sum_{P} (-1)^{P} \psi_{n_{1}}(\xi_{1}) \psi_{n_{2}}(\xi_{2}) \cdots \psi_{n_{N}}(\xi_{N}),$$

$$\psi_{a}(\xi_{1}, \xi_{2}, \dots, \xi_{N}) = \frac{1}{\sqrt{N!}} \begin{vmatrix} \psi_{n_{1}}(\xi_{1}) & \psi_{n_{1}}(\xi_{2}) & \cdots & \psi_{n_{1}}(\xi_{N}) \\ \psi_{n_{2}}(\xi_{1}) & \psi_{n_{2}}(\xi_{2}) & \cdots & \psi_{n_{2}}(\xi_{N}) \\ \vdots & \vdots & \ddots & \vdots \\ \psi_{n_{N}}(\xi_{1}) & \psi_{n_{N}}(\xi_{2}) & \cdots & \psi_{n_{N}}(\xi_{N}) \end{vmatrix}.$$

• Fonction d'onde d'un système de plusieurs particules avec $\underline{\mathbf{n}} = \mathbf{n}_{\underline{i}}$ Cas symétrique

$$\psi_s(\xi_1, \, \xi_2, \ldots, \, \xi_N) = \prod_{i=1}^N \psi_n(\xi_i) = \psi_n(\xi_1) \psi_n(\xi_2) \cdots \psi_n(\xi_N).$$

Si n_i se répète plusieurs fois

$$\psi_s(\xi_1, \, \xi_2, \, \ldots, \, \xi_N) = \sqrt{\frac{N_1! \, N_2! \, \cdots \, N_N!}{N!}} \sum_{P} \hat{P} \, \psi_{n_1}(\xi_1) \psi_{n_2}(\xi_2) \cdots \psi_{n_N}(\xi_N);$$

⇒ Condensat de Bose-Einstein: les bosons ont tendance à se condenser tous dans le même état, l'état fondamental s'appelle la condensation du boson.

Cas antisymétrique n'existe pas!

 \Rightarrow Principe d'exclusion de Pauli : 2 particules ne peuvent pas occuper simultanément le même état quantiques (n, l, m_l, m_s).

Fonction d'onde d'un système avec spin

$$\Psi(\vec{r}_1, \vec{S}_1; \vec{r}_2, \vec{S}_2; \dots; \vec{r}_N, \vec{S}_N) = \psi(\vec{r}_1, \vec{r}_2, \dots, \vec{r}_N) \chi(\vec{S}_1, \vec{S}_2, \dots, \vec{S}_N).$$

Cas symétrique

$$\Psi_{s}(\vec{r}_{1}, \vec{S}_{1}; \vec{r}_{2}, \vec{S}_{2}; \ldots; \vec{r}_{N}, \vec{S}_{N}) = \begin{cases} \psi_{a}(\vec{r}_{1}, \vec{r}_{2}, \ldots, \vec{r}_{N}) \chi_{a}(\vec{S}_{1}, \vec{S}_{2}, \ldots, \vec{S}_{N}), \\ \psi_{s}(\vec{r}_{1}, \vec{r}_{2}, \ldots, \vec{r}_{N}) \chi_{s}(\vec{S}_{1}, \vec{S}_{2}, \ldots, \vec{S}_{N}). \end{cases}$$

Cas antisymétrique

$$\Psi_a(\vec{r}_1, \vec{S}_1; \vec{r}_2, \vec{S}_2; \dots; \vec{r}_N, \vec{S}_N) = \begin{cases} \psi_a(\vec{r}_1, \vec{r}_2, \dots, \vec{r}_N) \chi_s(\vec{S}_1, \vec{S}_2, \dots, \vec{S}_N), \\ \psi_s(\vec{r}_1, \vec{r}_2, \dots, \vec{r}_N) \chi_a(\vec{S}_1, \vec{S}_2, \dots, \vec{S}_N). \end{cases}$$

Element

Tableau périodique

Le principe d'exclusion de Pauli

Symétrique x Antisymétrique

Moment cinétique total

$$\vec{L} = \sum_{i=1}^{Z} \vec{l}_i, \qquad \vec{S} = \sum_{i=1}^{Z} \vec{s}_i$$

$$\vec{J} = \vec{L} + \vec{S},$$

Notation spectroscopique

$$L = 0, S$$

 $L = 1, P$
 $L = 2, D$
 $L = 3, F$
 $L = 4, G$

Exemples

B (Z=5)
$$\Rightarrow$$
 ${}^{2}P_{1/2}$ or ${}^{2}P_{3/2}$. C (Z=6) \Rightarrow ${}^{1}S_{0}$,

2p

Configuration

$$^{3}P_{0}$$

$$^{3}P_{1}$$
,

$$^{3}P_{2}$$
,

 $^{1}D_{2};$

Les règles de Hund

La 1ère règle

Le maximum de S (S le plus large)

La 2ème règle

Le maximum de L (L le plus large)

La 3ème règle

J = |L - S| pour un orbital (shell) moins que demi-remplit

J = L + S. pour un orbital (shell) plus que demi-remplit

L'état fondamental

- Répulsion électronique
- La plus grande multiplicité de spin (25+1)
- La plus grande dégénérescence orbitale (H>G>F>D>P>S)

I. Théorie de perturbation indépendant du temps (non-dégénérés)

$$\hat{H} = \hat{H_0} + \hat{H_p}$$
 Hamiltonien de perturbation

Hamiltonien non-perturbé

$$\hat{H}_p = \lambda \hat{W}$$
 $(\lambda \ll 1).$
 $(\hat{H}_0 + \lambda \hat{W}) \mid \psi_n \rangle = E_n \mid \psi_n \rangle.$

Les perturbation \Rightarrow $E_n = E_n^{(0)} + \lambda E_n^{(1)} + \lambda^2 E_n^{(2)} + \cdots,$ $|\psi_n\rangle = |\phi_n\rangle + \lambda |\psi_n^{(1)}\rangle + \lambda^2 |\psi_n^{(2)}\rangle + \cdots.$

$$\left(\hat{H}_0 + \lambda \hat{W}\right) \left(|\phi_n\rangle + \lambda |\psi_n^{(1)}\rangle + \lambda^2 |\psi_n^{(2)}\rangle + \cdots \right)$$

$$= \left(E_n^{(0)} + \lambda E_n^{(1)} + \lambda^2 E_n^{(2)} + \cdots \right) \left(|\phi_n\rangle + \lambda |\psi_n^{(1)}\rangle + \lambda^2 |\psi_n^{(2)}\rangle + \cdots \right).$$

I. Théorie de perturbation indépendant du temps (non-dégénérés)

Zero order in λ:

$$\hat{H}_0 \mid \phi_n \rangle = E_n^{(0)} \mid \phi_n \rangle,$$

First order in λ:

$$\hat{H}_0 \mid \psi_n^{(1)} \rangle + \hat{W} \mid \phi_n \rangle = E_n^{(0)} \mid \psi_n^{(1)} \rangle + E_n^{(1)} \mid \phi_n \rangle,$$

Second order in λ:

$$\hat{H}_0 \mid \psi_n^{(2)} \rangle + \hat{W} \mid \psi_n^{(1)} \rangle = E_n^{(0)} \mid \psi_n^{(2)} \rangle + E_n^{(1)} \mid \psi_n^{(1)} \rangle + E_n^{(2)} \mid \phi_n \rangle.$$

$$E_n^{(1)} = \langle \phi_n \mid \hat{W} \mid \phi_n \rangle,$$

Énergies propres
$$\Rightarrow$$
 Correction de 1er ordre
$$E_n^{(1)} = \langle \phi_n \mid \hat{W} \mid \phi_n \rangle, E_n^{(2)} = \sum_{m \neq n} \frac{\left| \langle \phi_m \mid \hat{W} \mid \phi_n \rangle \right|^2}{E_n^{(0)} - E_m^{(0)}}.$$

$$E_n = E_n^{(0)} + \langle \phi_n \mid \hat{H}_p \mid \phi_n \rangle + \sum_{m \neq n} \frac{\left| \langle \phi_m | \hat{H}_p \mid \phi_n \rangle \right|^2}{E_n^{(0)} - E_m^{(0)}} + \cdots$$

I. Théorie de perturbation indépendant du temps (non-dégénérés)

L'état propres
$$\Rightarrow |\psi_n^{(1)}\rangle = \sum_{m\neq n} \frac{\langle \phi_m \mid W \mid \phi_n \rangle}{E_n^{(0)} - E_m^{(0)}} |\phi_m\rangle.$$

$$| \psi_n \rangle = | \phi_n \rangle + \sum_{m \neq n} \frac{\langle \phi_m | \hat{H}_p | \phi_n \rangle}{E_n^{(0)} - E_m^{(0)}} | \phi_m \rangle.$$

rour 1a convergence $\left|\frac{\langle \phi_m | \hat{H}_p | \phi_n \rangle}{E_n^{(0)} - E_m^{(0)}}\right| \ll 1 \qquad (n \neq m).$

$$\left| \frac{\langle \phi_m | \hat{H}_p | \phi_n \rangle}{E_n^{(0)} - E_m^{(0)}} \right| \ll 1 \qquad (n \neq m).$$

Si
$$E_n^{(0)} = E_m^{(0)} \Rightarrow$$
 le cas est dégénéré

Exemple : L'effet Stark (l'application du champ électrique faible $e\mathcal{E}\hat{Z}$ sur l'atome d'hydrogène)

$$E_{100} = E_{100}^{(0)} + e\mathcal{E}\langle 100 \mid \hat{Z} \mid 100 \rangle + e^2 \mathcal{E}^2 \sum_{nlm \neq 100} \frac{\left| \langle nlm \mid \hat{Z} \mid 100 \rangle \right|^2}{E_{100}^{(0)} - E_{nlm}^{(0)}}.$$

II. Théorie de perturbation indépendant du temps (dégénérés)

$$\hat{H} \mid \psi_n \rangle = (\hat{H}_0 + \hat{H}_p) \mid \psi_n \rangle = E_n \mid \psi_n \rangle.$$

$$H_{p} = \begin{pmatrix} \hat{H}_{p_{11}} & \hat{H}_{p_{12}} & \cdots & \hat{H}_{p_{1f}} \\ \hat{H}_{p_{21}} & \hat{H}_{p_{22}} & \cdots & \hat{H}_{p_{2f}} \\ \vdots & \vdots & \ddots & \vdots \\ \hat{H}_{p_{f1}} & \hat{H}_{p_{f2}} & \cdots & \hat{H}_{p_{ff}} \end{pmatrix},$$

$$E_{n_{\alpha}} = E_n^{(0)} + E_{n_{\alpha}}^{(1)}$$
 $(\alpha = 1, 2, ..., f)$

$$|\psi_{n_{\alpha}}\rangle = \sum_{\beta=1}^{f} a_{\alpha\beta} |\phi_{n_{\beta}}\rangle.$$

III. La structure fine & l'effet de Zeeman anormal

L'effet spin-orbite

L'interaction du $\vec{\mu}_S = -e\vec{S}/(m_e c)$ avec \vec{B}

$$\vec{B} = -\frac{1}{c}\vec{v} \times \vec{E} = -\frac{1}{m_e c}\vec{p} \times \vec{E} = \frac{1}{m_e c}\vec{E} \times \vec{p},$$

$$\vec{L} = \vec{r} \times \vec{p}$$

$$\vec{B} = \frac{1}{m_e c} \vec{E} \times \vec{p} = \frac{1}{e m_e c} \frac{1}{r} \frac{dV}{dr} \vec{r} \times \vec{p} = \frac{1}{e m_e c} \frac{1}{r} \frac{dV}{dr} \vec{L},$$

$$\hat{H}_{SO} = -\vec{\mu}_S \cdot \vec{B} = \frac{e}{m_e c} \vec{S} \cdot \vec{B} = \frac{1}{m_e^2 c^2} \frac{1}{r} \frac{dV}{dr} \vec{S} \cdot \vec{L}.$$

III. La structure fine & l'effet de Zeeman anormal

L'effet spin-orbite de l'atome d'hydrogène

$$\hat{H}_{SO} = \frac{1}{2m_e^2 c^2} \frac{1}{r} \frac{d\hat{V}}{dr} \hat{\vec{S}} \cdot \hat{\vec{L}}.$$

$$V(r) = -e^2/r \implies dV/dr = e^2/r^2.$$

$$\hat{H}_{SO} = \frac{e^2}{2m_e^2 c^2} \frac{1}{r^3} \hat{\vec{S}} \cdot \hat{\vec{L}}.$$

$$V(r) = -e^2/r \implies dV/dr = e^2/r^2$$

$$\hat{H}_{SO} = \frac{e^2}{2m_e^2 c^2} \frac{1}{r^3} \hat{\vec{S}} \cdot \hat{\vec{L}}.$$

La théorie de perturbation pour calculer le spin-orbite

$$\hat{H} = \frac{\hat{\vec{p}}^2}{2m_e} - \frac{e^2}{r} + \frac{e^2}{2m_e^2 c^2 r^3} \hat{\vec{S}} \cdot \hat{\vec{L}} = \hat{H}_0 + \hat{H}_{SO},$$

Etat propre:
$$\Psi_{n,l,j=l\pm\frac{1}{2},m} = R_{nl}(r) \left[\sqrt{\frac{l \mp m + \frac{1}{2}}{2l+1}} Y_{l,m+\frac{1}{2}} \left| \frac{1}{2}, -\frac{1}{2} \right\rangle \pm \sqrt{\frac{l \pm m + \frac{1}{2}}{2l+1}} Y_{l,m-\frac{1}{2}} \left| \frac{1}{2}, \frac{1}{2} \right\rangle \right]$$

Energie propre :
$$E_{nlj} = E_n^{(0)} + \langle nljm_j | \hat{H}_{SO} | nljm_j \rangle = -\frac{e^2}{2a_0} \frac{1}{n^2} + E_{SO}^{(1)}$$
,

$$E_n^{(0)} = -e^2/(2a_0n^2) = -(13.6/n^2) \text{ eV}$$

$$E_n^{(0)} = -e^2/(2a_0n^2) = -(13.6/n^2) \text{ eV}$$

$$E_{SO}^{(1)} = \frac{e^2\hbar^2}{2m_e^2c^2} \left[\frac{j(j+1) - l(l+1) - \frac{3}{4}}{n^3l(l+1)(2l+1)a_0^3} \right]$$

III. La structure fine & l'effet de Zeeman anormal

• La théorie de perturbation pour calculer le spin-orbite

$$E_{SO}^{(1)} = \frac{e^2\hbar^2}{2m_e^2c^2} \left[\frac{j(j+1) - l(l+1) - \frac{3}{4}}{n^3l(l+1)(2l+1)a_0^3} \right] = \left(\frac{e^2}{2a_0} \frac{1}{n^2} \right) \left(\frac{\hbar}{m_e c a_0} \right)^2 \frac{1}{n} \left[\frac{j(j+1) - l(l+1) - \frac{3}{4}}{l(l+1)(2l+1)} \right]$$

Avec
$$a_0 = \hbar^2/(m_e e^2)$$
 et $a = \frac{\hbar}{m_e c a_0} = \frac{e^2}{\hbar c} \simeq \frac{1}{137}$.

Rayon de Bohr Constante de structure fine

$$E_{SO}^{(1)} = \frac{\alpha^4 m_e c^2}{2n^3} \left[\frac{j(j+1) - l(l+1) - \frac{3}{4}}{l(l+1)(2l+1)} \right].$$

III. La structure fine & l'effet de Zeeman anormal

La correction relativiste

Energie cinétique relativiste : $\hat{T} = \sqrt{\hat{p}^2c^2 + m_e^2c^4} - m_ec^2$

$$\Rightarrow \sqrt{\hat{p}^2 c^2 + m_e^2 c^4} - m_e c^2 \simeq \frac{\hat{p}^2}{2m_e} - \frac{\hat{p}^4}{8m_e^3 c^2} + \cdots$$

$$\hat{H} = \frac{\hat{p}^2}{2m_e} - \frac{e^2}{r} - \frac{\hat{p}^4}{8m_e^3 c^2} = \hat{H}_0 + \hat{H}_R,$$

$$E_R^{(1)} = \langle nljm_j \mid \hat{H}_R \mid nljm_j \rangle = -\frac{1}{8m_e^3c^2} \left\langle nljm_j \left| \hat{p}^4 \right| nljm_j \right\rangle.$$

$$E_R^{(1)} = -\frac{\alpha^4 m_e c^2}{8n^4} \left(\frac{8n}{2l+1} - 3 \right) = -\frac{\alpha^2 |E_n^{(0)}|}{4n^2} \left(\frac{8n}{2l+1} - 3 \right).$$

III. La structure fine & l'effet de Zeeman anormal

• La structure fine de l'atome d'hydrogène

$$\hat{H} = \hat{H}_0 + \hat{H}_{FS} = \hat{H}_0 + \left(\hat{H}_{SO} + \hat{H}_R\right) = \frac{\hat{p}^2}{2m_e} - \frac{e^2}{r} + \left(\frac{e^2}{2m_e^2c^2r^3}\hat{S}\cdot\hat{L} - \frac{\hat{p}^4}{8m_e^3c^2}\right)$$

$$E_{FS}^{(1)} = E_{SO}^{(1)} + E_R^{(1)} = \frac{\alpha^4 m_e c^2}{8n^4} \left(3 - \frac{4n}{j + \frac{1}{2}} \right) = \frac{\alpha^2 E_n^{(0)}}{4n^2} \left(\frac{4n}{j + \frac{1}{2}} - 3 \right), \quad \text{pour} \quad j = l \pm \frac{1}{2}.$$

$$\frac{E_{SO}^{(1)}}{|E_n^{(0)}|} \simeq \alpha^2, \qquad \left| \frac{E_R^{(1)}}{E_n^{(0)}} \right| \simeq \alpha^2, \qquad \frac{E_{FS}^{(1)}}{|E_n^{(0)}|} \simeq \alpha^2.$$

La structure hyperfine

L'interaction du spin d'électron avec le spin du noyau

III. La structure fine & l'effet de Zeeman anormal

L'effet de Zeeman anormal

$$\hat{H}_{Z} = -\vec{\mu}_{L} \cdot \vec{B} - \vec{\mu}_{S} \cdot \vec{B} = \frac{e}{2m_{e}c} \vec{L} \cdot \vec{B} + \frac{e}{m_{e}c} \vec{S} \cdot \vec{B} = \frac{e}{2m_{e}c} \left(\vec{L} + 2\vec{S} \right) \cdot \vec{B} = \frac{eB}{2m_{e}c} \left(\hat{L}_{z} + 2\hat{S}_{z} \right)$$

avec
$$\vec{\mu}_L = -e\vec{L}/(2m_ec)$$
 et $\vec{\mu}_S = -\vec{S}/(m_ec)$

La perturbation
$$\hat{H} = \hat{H}_0 + \hat{H}_{FS} + \hat{H}_Z.$$

$$\hat{H}_{SO} = W \vec{L} \cdot \vec{S} (9.74) \qquad \hat{H}_Z = B \mu_B (\hat{L}_z + 2\hat{S}_z)/\hbar$$

$$\hat{H}_Z/\hat{H}_{SO} \sim B \mu_B/W$$

Effet de Zeeman avec 'champ faible'
$$B \ll W/\mu_B$$
 $\Longrightarrow W/\mu_B$ Effet de Zeeman avec 'champ fort'

L'effet de Zeeman " champ fort "

$$\hat{H} = \hat{H}_0 + \hat{H}_Z = \hat{H}_0 + \frac{eB}{2m_e c} \left(\hat{L}_z + 2\hat{S}_z \right)$$

et

$$E_{nlm_lm_s} = E_n^{(0)} + \frac{eB\hbar}{2m_ec} (m_l + 2m_s) = -\frac{e^2}{2a_0n^2} + \frac{eB\hbar}{2m_ec} (m_l + 2m_s).$$

$$\Delta E = B\mu_B (m_l + 2m_s) \qquad \mu_B = e\hbar/(2m_e c)$$

décalage de Paschen-Back

$$E_2^0 = \underbrace{ (2,0,0,\pm\frac{1}{2}), (2,1,0,\pm\frac{1}{2}), (2,1,\pm1,\pm\frac{1}{2})}_{(2,2,2,\pm1,\pm1,\pm\frac{1}{2})}$$

$$n = 2, g_2 = 8$$

$$\begin{array}{c} (2,1,1,\frac{1}{2}) & E_2^0 + 2B\mu_B \\ (2,0,0,\frac{1}{2}),(2,1,0,\frac{1}{2}) & E_2^0 + B\mu_B \\ (2,1,1,-\frac{1}{2}),(2,1,-1,\frac{1}{2}) & E_2^0 \\ \hline (2,0,0,-\frac{1}{2}),(2,1,0,-\frac{1}{2}) & E_2^0 - B\mu_B \\ (2,1,-1,-\frac{1}{2}) & E_2^0 - 2B\mu_B \end{array}$$

$$E_{1}^{0} = \underbrace{\begin{array}{c} (n, l, m_{l}, m_{s}) = (1, 0, 0, \frac{1}{2}) \\ n = 1, g_{1} = 2 \end{array}}_{\begin{array}{c} (n, l, m_{l}, m_{s}) = (1, 0, 0, \frac{1}{2}) \\ \vec{B} = 0 \end{array}} E_{1}^{0} + B\mu_{B}$$

L'effet de Zeeman " champ faible "

$$\hat{H} = \hat{H}_0 + \hat{H}_{FS} + \hat{H}_Z = \hat{H}_0 + \hat{H}_{FS} + \frac{eB}{2m_e c} (\hat{J}_z + \hat{S}_z) \rightarrow \hat{L}_z + 2\hat{S}_z$$

donc
$$E_Z^{(1)} = \langle nljm_j \mid \hat{H}_Z \mid nljm_j \rangle = \frac{eB}{2m_ec} \langle nljm_j \mid \hat{J}_z + \hat{S}_z \mid nljm_j \rangle.$$

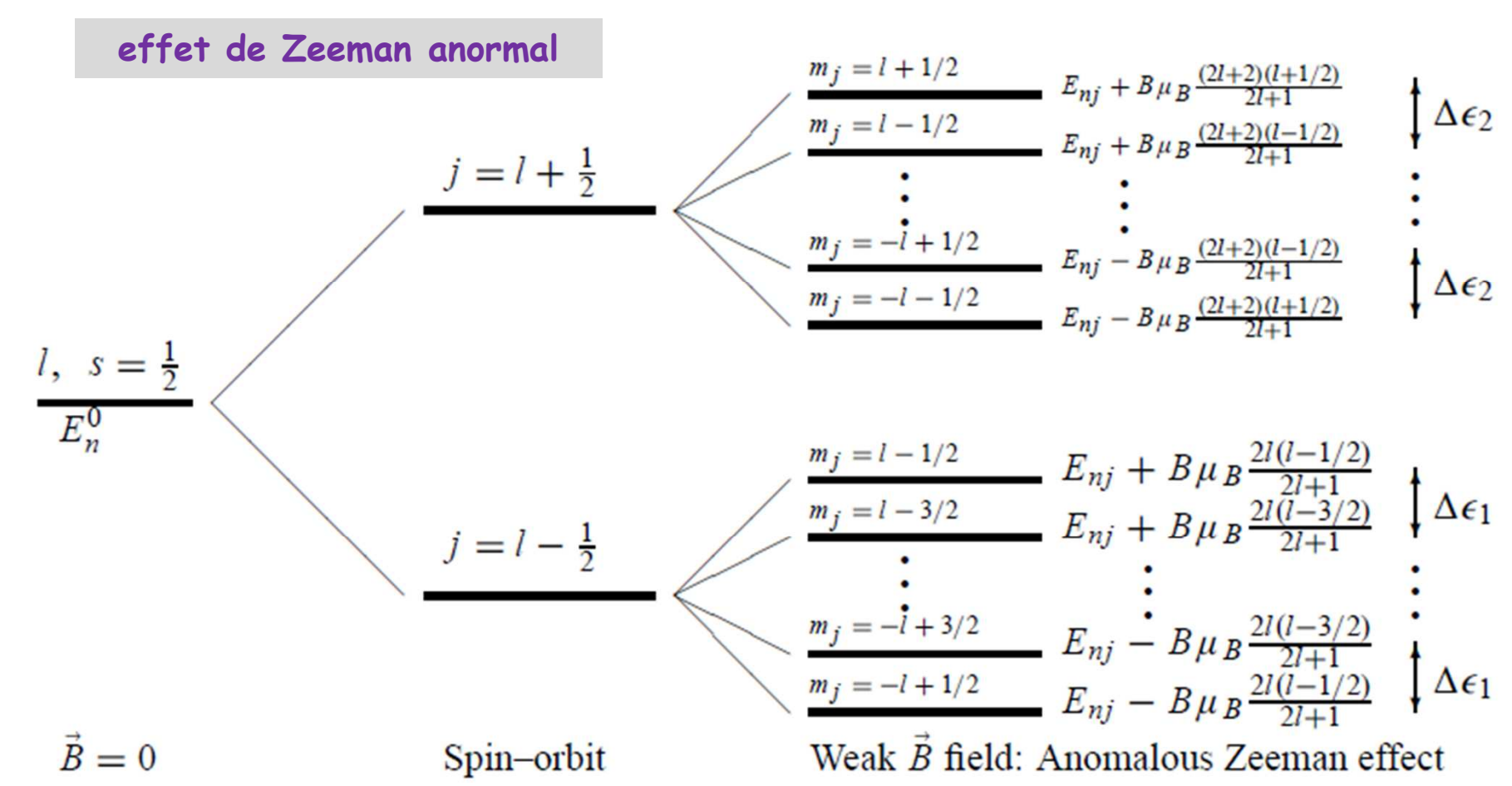
$$E_Z^{(1)} = \frac{eB\hbar}{2m_e c} \left[1 + \frac{j(j+1) - l(l+1) + s(s+1)}{2j(j+1)} \right] m_j = \frac{eB\hbar}{2m_e c} g_j m_j = B\mu_B m_j g_j,$$

avec
$$g_j = 1 + \frac{j(j+1) - l(l+1) + s(s+1)}{2j(j+1)}$$
. \Longrightarrow le facteur de Landé $l = 0 \Rightarrow j = s \Rightarrow g_s = 2$ State $^2S_{1/2}$ $^2P_{1/2}$ $^2P_{3/2}$ $^2D_{3/2}$ $^2D_{5/2}$ $^2F_{5/2}$ $^2F_{7/2}$ si $s = 0 \Rightarrow j = l \Rightarrow g_l = 1$ g_j 2 $\frac{2}{3}$ $\frac{4}{3}$ $\frac{4}{5}$ $\frac{6}{5}$ $\frac{6}{7}$ $\frac{8}{7}$

$$E_{nj} = E_n^{(0)} + E_{FS}^{(1)} + E_Z^{(1)} = E_n^{(0)} + \frac{\alpha^2 E_n^{(0)}}{4n^2} \left(\frac{4n}{j + \frac{1}{2}} - 3 \right) + \frac{eB\hbar}{2m_e c} m_j g_j.$$

L'effet de Zeeman " champ faible "

$$\Delta E = B\mu_B m_j g_j$$
 avec $m_j = -j, -j+1, ..., j-1, j$
donc $\Delta \epsilon_1 = B\mu_B(2l)/(2l+1)$ et $\Delta \epsilon_2 = B\mu_B(2l+2)/(2l+1)$. $\Rightarrow \Delta \epsilon_1 \neq \Delta \epsilon_2$



IV. La méthode variationnelle

Chercher la limite supérieure des états et des énergies propres.

Donc, on ne résoudre pas $\hat{H} \mid \psi \rangle = E \mid \psi \rangle$,

Mais l'équation variationnelle $\delta E(\psi) = 0$, avec $E(\psi) = \frac{\langle \psi \mid \hat{H} \mid \psi \rangle}{\langle \psi \mid \psi \rangle}$.

Si $|\psi\rangle$ dépend d'un paramètre α , $E(\psi)$ dépend également à α

Donc on va varier α jusqu'à la minimisation de $E(\psi)$.

$$E = \frac{\langle \psi \mid H | \psi \rangle}{\langle \psi \mid \psi \rangle} \ge E_0;$$

IV. La méthode variationnelle

Les étapes de calcul des états & énergies propres :

- 1. Imaginer une fonction d'essai et incluez dans la fonction d'essai des paramètres ajustables $\alpha_1, \alpha_2, \ldots$ (i.e., $|\psi_0\rangle = |\psi_0(\alpha_1, \alpha_2, \ldots)\rangle$).
- 2. Calculer l'énergie $E_0(\alpha_1, \alpha_2, \ldots) = \frac{\langle \psi_0(\alpha_1, \alpha_2, \ldots) | \hat{H} | \psi_0(\alpha_1, \alpha_2, \ldots) \rangle}{\langle \psi_0(\alpha_1, \alpha_2, \ldots) | \psi_0(\alpha_1, \alpha_2, \ldots) \rangle}$.
- 3. Utiliser cette équation pour minimiser $E_0(\alpha_1, \alpha_2, ...)$ en variant α_i jusqu'à la minimisation de E_0 .

$$\frac{\partial E_0(\alpha_1, \alpha_2, \ldots)}{\partial \alpha_i} = \frac{\partial}{\partial \alpha_i} \frac{\langle \psi_0(\alpha_1, \alpha_2, \ldots) | \hat{H} | \psi_0(\alpha_1, \alpha_2, \ldots) \rangle}{\langle \psi_0(\alpha_1, \alpha_2, \ldots) | \psi_0(\alpha_1, \alpha_2, \ldots) \rangle} = 0,$$

alors $(\alpha_{1_0}, \alpha_{2_0}, \ldots)$ minimise E_0 .

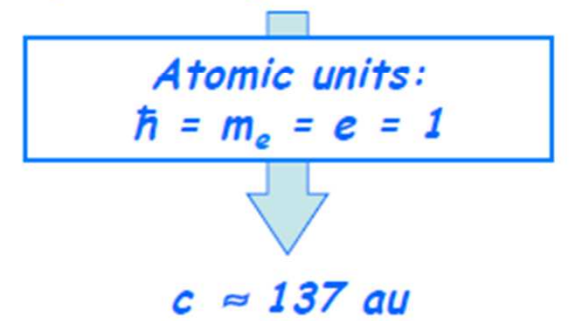
4. Substituer ces valeurs de $(\alpha_{1_0}, \alpha_{2_0}, ...)$ dans l'équation précédente pour obtenir $E_0(\alpha_{1_0}, \alpha_{2_0}, ...)$ et $|\psi_0(\alpha_{1_0}, \alpha_{2_0}, ...)\rangle$.

I. Introduction



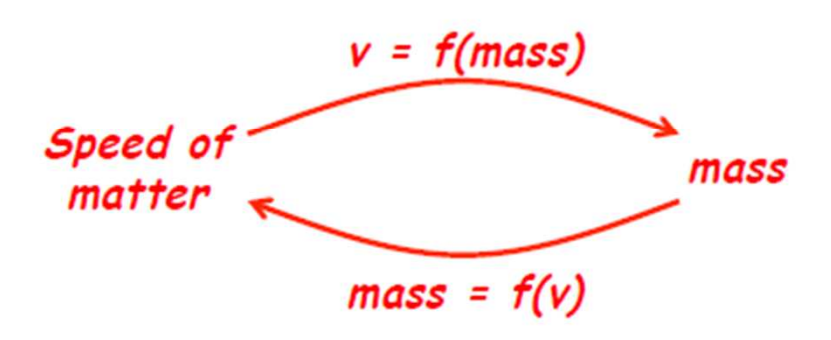
Composed of photons (no mass)

Speed of light = constant



Matter

Composed of atoms (mass)



Lorentz Factor (measure of the relativistic effects)

$$\gamma = \frac{1}{\sqrt{1 - \left(\frac{v}{c}\right)^2}} \ge 1$$
Relativistic mass: M = \gamma m \text{ (m: rest mass)}

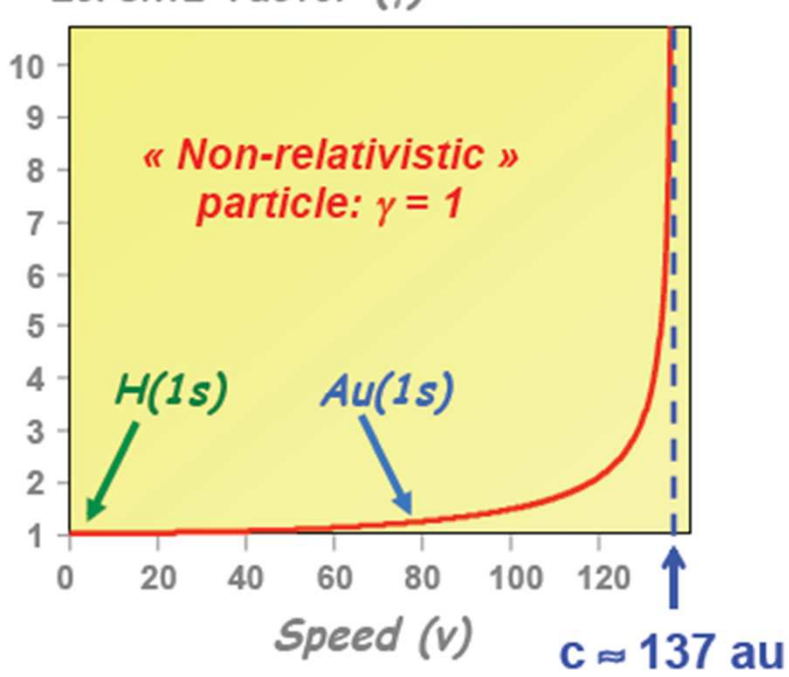
Momentum: p = \gamma mv = Mv

Total energy: E² = p²c² + m²c⁴

E = \gamma mc² = Mc²

I. Introduction

Lorentz factor (γ)



Speed of the 1s electron (Bohr model):



$$v_e \propto \frac{Z}{n}$$
 $\begin{cases} H: v_e(1s) = 1 \text{ au} & \longrightarrow \gamma = 1.00003 \\ Au: v_e(1s) = 79 \text{ au} & \longrightarrow \gamma = 1.22 \end{cases}$

Details for Au atom:

$$v_e(1s) = \frac{79}{137}c = 0.58c$$

Details for Au atom:
$$\gamma = \frac{1}{\sqrt{1 - \left(\frac{v_e}{c}\right)^2}} = \frac{1}{\sqrt{1 - \left(0.58\right)^2}} = 1.22$$

$$v_e(1s) = \frac{79}{137}c = 0.58c$$



↑ 1s electron of Au atom = relativistic particle M_e(1s-Au) = 1.22m_e

II. Équation de Dirac

1. Hamiltonien relativiste

• Énergie d'une particule libre:
$$E=mc^2(1-oldsymbol{eta}^2)^{-1/2}$$
 avec $oldsymbol{eta}=v/c$

• Énergie d'une particule dans un champ électromagnétique :

$$E = mc^{2}(1 - \beta^{2})^{-1/2} + q\mathcal{V}$$

et son impulsion:

$$\overrightarrow{p} = m\overrightarrow{v}(1 - \beta^2)^{-1/2} + q\overrightarrow{\mathcal{A}}$$

$$\Rightarrow \frac{1}{c^2}(E - q\mathcal{V})^2 - \left(\overrightarrow{p} - q\overrightarrow{\mathcal{A}}\right)^2 - m^2c^2 = 0$$

II. Équation de Dirac

2. Equation de Klein-Gordon

• Pour une particule libre: $(E/c)^2 - \overrightarrow{p}^2 - m^2c^2 = 0$

avec
$$\frac{E}{c} \rightarrow \frac{i\hbar}{c} \frac{\partial}{\partial t} = P_0$$

$$\Rightarrow \qquad (P_0^2 - \mathbf{P}^2 - m^2 c^2) \psi = 0 \qquad \text{\'equation de Klein-Gordon}$$

$$E = +\sqrt{p^2c^2 + m^2c^4}$$
 ou $E = -\sqrt{p^2c^2 + m^2c^4}$

3. Equation d'onde de Dirac

• Pour une particule libre: $(-P_0 + \alpha \cdot P + \alpha_4 mc)\psi = 0$

$$\left\{ -P_0 \begin{bmatrix} \mathbb{1} & 0 \\ 0 & \mathbb{1} \end{bmatrix} + \begin{bmatrix} 0 & \mathbf{\sigma} \\ \mathbf{\sigma} & 0 \end{bmatrix} \cdot \mathbf{P} + mc \begin{bmatrix} \mathbb{1} & 0 \\ 0 & -\mathbb{1} \end{bmatrix} \right\} \begin{bmatrix} \boldsymbol{\zeta} \\ \boldsymbol{\chi} \end{bmatrix} = \begin{bmatrix} 0 \\ 0 \end{bmatrix}$$
 équation de Dirac

II. Équation de Dirac

3. Equation d'onde de Dirac

Pour une particule dans un champ électromagnétique:

$$\mathbf{P} \rightarrow \mathbf{P} - q\mathbf{A} \quad ; \quad P_0 \rightarrow P_0 - \frac{q}{c}V$$

$$\left\{-cP_0 + qV + c\mathbf{\alpha}\cdot(\mathbf{P} - q\mathbf{A}) + \beta mc^2\right\}\psi = 0 \qquad \text{\'equation de Dirac}$$

4. Hamiltonien de Dirac en présence du champ

Comparant l'équation de Dirac avec l'équation générale $H\psi = cP_0\psi$ on obtient:

$$H_D = c\mathbf{\alpha} \cdot (\mathbf{P} - q\mathbf{A}) + \beta mc^2 + qV$$

$$H_D = \underbrace{\frac{\mathbf{P}^2}{2m} + qV}_{\mathbf{P}_0} = \underbrace{\frac{\mathbf{P}^4}{8m^3c^2} - \frac{q\hbar}{4m^2c^2}}_{\mathbf{S}_{\mathbf{F}}} \mathbf{\sigma} \cdot (\mathbf{E} \times \mathbf{P}) - \frac{q\hbar^2}{8m^2c^2} \operatorname{div} \mathbf{E}$$

$$H_0 \qquad \qquad H_{\mathsf{SF}}$$

II. Équation de Dirac

4. Hamiltonien de Dirac en présence du champ

Avec $q = -e_0$ et $m = m_e$

$$W_V = -\frac{\mathbf{P}^4}{8m_e^3c^2}$$
; $W_{SO} = \frac{e_0\hbar}{4m_e^2c^2}\mathbf{\sigma}\cdot(\mathbf{E}\times\mathbf{P})$; $W_D = \frac{e_0\hbar^2}{8m_e^2c^2}\operatorname{div}\mathbf{E}$

W_V: correction masse - vitesse représente donc la première correction relativiste de l'énergie cinétique due à la vitesse de la particule

 W_{SO} : couplage spin-orbite représente bien l'interaction du spin avec le champ magnétique par l'électron au cours de sa trajectoire dans le champ électrostatique engendré par le proton. $W_{SO} = \frac{e^2}{2m^2c^2}\frac{1}{R^3}\mathbf{L}\cdot\mathbf{S}$

W_D: **terme de Darwin** prendre en compte l'influence du champ provenant d'un petit domaine centré sur l'électron

 $\langle W_D \rangle = \frac{\pi e^2 \hbar^2}{2m_e^2 c^2} |\psi(0)|^2$